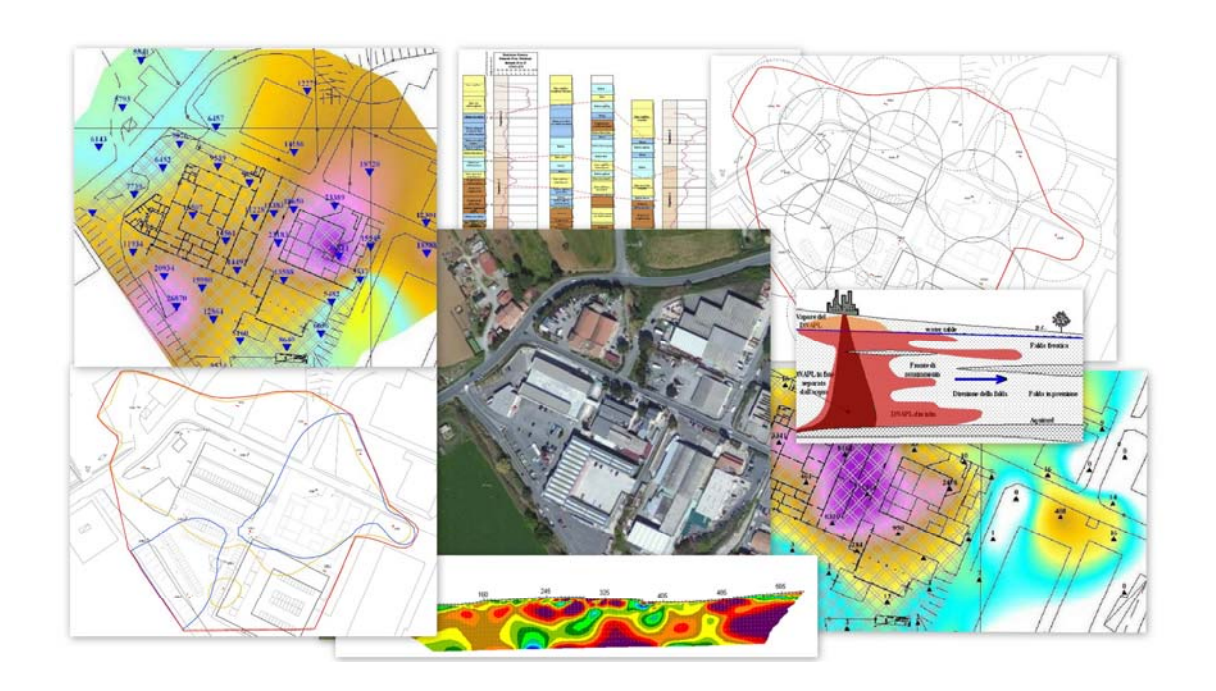
Revisione a seguito nuovi riferimenti Committente	EPe	APr	15 Marzo 2015	
Prima emissione	EPe	APr	28 Luglio 2014	0
DESCRIZIONE	REDATTO	APPROVATO	DATA	REV.

## REGIONE TOSCANA Settore Rifiuti e Bonifiche dei Siti Inquinati

Elab. E4.1

SCALA

E4.1.pdf



OGGETTO

# PROGETTO DI BONIFICA DI UN SITO INQUINATO DA ORGANOALOGENATI REALIZZAZIONE DI UN IMPIANTO SOIL VAPOUR EXTRACTION

TITOLO DEL PROGETTO

PROGETTO ESECUTIVO (D.P.R. 207/2010)

TITOLO DELL'ELABORATO

CALCOLI ESECUTIVI DELLE STRUTTURE

UBICAZIONE

## Poggio Gagliardo - Comune di Montescudaio (PI)

COMMITTENTE:



Regione Toscana

Regione Toscana Settore Rifiuti e Bonifiche dei Siti Inquinati

Via di Novoli, 26 50127 - Firenze(FI) Tel 055/4383852 Fax 055/4383389 Email rifiuti.bonifiche@regione.toscana.it RENATA LAURA CASELLI Dirigente Responsabile del Contratto

ANTONIO BIAMONTE
Responsabile Unico del Procedimento

MARCO NANNUCCI Referente Tecnico

ROBERTA PAOLA BIGIARINI Referente Amministrativo

VANIA PETRUZZI Referente Amministrativo PROGETTISTA:



INGEGNO P & C s.r.l.

Via A. Gramsci, 49 - 56024 - Ponte a Egola (PI) tel: 0571-497075 e-mail: info@ingegno06.it

Ing. ANDREA PROFETI

collaboratori: Per. Ind. MATTEO CORBELLINI

Ing. ELENA PECORI

PROGETTISTA GEOLOGIA:

S.B.C. GEOLOGI ASSOCIATI Geol. FRANCESCO BIANCHI Via XX Settembre, 78 - 50129 - Firenze (FI)

tel: 055-2280154 e-mail: sbc.geologiassociati@gmail.com

Il presente disegno non può a termine di legge essere riprodotto o consegnato a terzi o reso pubblico senza la nostra autorizzazione scritta

## **INDICE**

<u>1</u> <u>I</u>	DESCRIZIONE GENERALE DELLØOPERA	<u>4</u>
1.1	DESCRIZIONE DELLAINTERVENTO	4
1.2	DESCRIZIONE DELLE OPERE	4
1.2.1	PLATEA DI FONDAZIONE IMPIANTO	4
1.2.2	TETTOIA DI COPERTURA IN LEGNO	6
1.2.3	Passerella calpestabile	8
1.2.4	SEPARATORE DI CONDENSA E FILTRI A CARBONE ATTIVI	10
<u>2</u> <u>N</u>	NORMATIVA DI RIFERIMENTO	11
	MATERIALI IMPIEGATI E RESISTENZE DI CALCOLO	
<u>4</u> <u>T</u>	TERRENO DI FONDAZIONE	<u>16</u>
<u>5</u> <u>A</u>	NALISI DEI CARICHI	16
5.1	CLASSI DI SERVIZIO (ASTE IN LEGNO)	17
	PLATEA DI FONDAZIONE IMPIANTO	
	TETTOIA DI COPERTURA IN LEGNO	
	PASSERELLA CALPESTABILE	
	SEPARATORE DI CONDENSA E FILTRI A CARBONI ATTIVI	
	ALUTAZIONE DELLØAZIONE SISMICA	
6.1	VERIFICHE DI REGOLARITÀ	
6.1.1		
	VERIFICHE DI REGOLARITÀ PASSERELLA CALPESTABILE	
	CLASSE DI DUTTILITÀ	
6.3	SPETTRI DI PROGETTO PER S.L.U. E S.L.D.	24
6.3.1	,	
6.3.2		
6.4	METODO DI ANALISI	28
6.4.1	PLATEA DI FONDAZIONE DELLØMPIANTO E TETTOIA DI COPERTURA IN LEGNO	28
	PASSERELLA CALPESTABILE	
6.5	VALUTAZIONE DEGLI SPOSTAMENTI	30
6.6	COMBINAZIONE DELLE COMPONENTI DELLØAZIONE SISMICA	31

6.7 ECCENTRICITÀ ACCIDENTALI	31
7 AZIONI SULLA STRUTTURA	31
7.1 STATO LIMITE DI SALVAGUARDIA DELLA VITA	32
7.2 STATO LIMITE DI DANNO	
7.3 STATI LIMITE DI ESERCIZIO	
8 CODICE DI CALCOLO IMPIEGATO	
8.1 DENOMINAZIONE	
8.2 SINTESI DELLE FUNZIONALITÀ GENERALI	
8.3 SISTEMI DI RIFERIMENTO	
8.3.1 RIFERIMENTO GLOBALE	
8.3.2 RIFERIMENTO LOCALE PER TRAVI	
8.3.3 RIFERIMENTO LOCALE PER PILASTRI	
8.3.4 RIFERIMENTO LOCALE PER PARETI	
8.3.5 RIFERIMENTO LOCALE PER SOLETTE	40
8.3.6 RIFERIMENTO LOCALE PER PLATEE	41
8.4 MODELLO DI CALCOLO	41
8.5 PROGETTO E VERIFICA DEGLI ELEMENTI STRUTTURALI	46
8.6 VERIFICHE DI RESISTENZA	46
8.7 GERARCHIA DELLE RESISTENZE	49
8.8 VERIFICHE DI INSTABILITÀ (ASTE IN ACCIAIO)	51
8.9 VERIFICHE DI INSTABILITÀ (ASTE IN LEGNO)	52
8.10 VERIFICHE DI DEFORMABILITÀ (ASTE IN ACCIAIO)	52
8.11 VERIFICHE DI DEFORMABILITÀ (ASTE IN LEGNO)	52
9 PROGETTO E VERIFICA DEI COLLEGAMENTI	54
9.1 VERIFICHE DELLE UNIONI LEGNO-LEGNO E DEGLI APPOGGI	55
10 RISULTATI DELLE SOLLECITAZIONI SULLE STRUTTU	RE55
10.1.1 PLATEA DI FONDAZIONE DELLØMPIANTO	55
10.1.2 TETTOIA DI COPERTURA IN LEGNO	
10.1.3 PASSERELLA CALPESTABILE	
11 RISULTATI DI CALCOLO E SOLLECITAZIONI DEI SERB	

11.1	SOLLECITAZIONI E STATO DI TENSIONI DEI PROFILATI IN ACCIAIO	60
11.2	SEZIONE PROFILI ACCIAIO	63
11.3	CALCOLO SPESSORI DEI FASCIAMI METALLICI E DEI FONDI CURVI	64
11.3.	1 CALCOLI SEPARATORE DI CONDENSA	64
11.3.2	2 CALCOLI FILTRO A CARBONI ATTIVI	66
11.3.3	3 CALCOLI TUBAZIONI IN ACCIAIO	68
	INDICE DELLE FIGURE	
Figur	ra 1. Vista anteriore platea di fondazione impianto	5
Figur	ra 2. Vista posteriore platea di fondazione impianto	6
Figur	ra 3. Vista anteriore tettoia di copertura impianto	7
Figur	ra 4. Vista posteriore tettoia di copertura impianto	8
Figur	ra 5. Vista anteriore passerella in acciaio	9
Figur	ra 6. Vista posteriore passerella in acciaio	10
Figur	ra 7. Rappresentazione del modello della platea e della copertura lignea - Vista anteriore.	42
Figur	ra 8. Rappresentazione del modello della platea e della copertura lignea ó Vista posteriore	43
Figur	ra 9. Rappresentazione del modello della passerellaó Vista anteriore	44
Figur	ra 10. Rappresentazione del modello della passerella ó Vista posteriore	44
Figur	ra 11. Rappresentazione del modello del separatore di condense e filtro a carboni attivi	45
Figur	ra 12. Stato tensivo platea di fondazione direzione 1	55
Figur	ra 13. Stato tensivo platea di fondazione direzione 2	56
Figur	ra 14. Stato tensivo platea di fondazione direzione 1-2	56
Figur	ra 15. Stato tensivo tettoia a sforzo normale	57
Figur	ra 16. Stato tensivo tettoia a sforzo di taglio	57
Figur	ra 17. Stato tensivo tettoia a momento flettente	58
	ra 18. Stato tensivo tettoia a sforzo normale	
	ra 19. Stato tensivo tettoia a momento flettente	
Figur	ra 20. Stato tensivo tettoia a sforzo di taglio	59
	ra 21. Stato tensivo serbatoio a sforzo normale	
	ra 22. Stato tensivo serbatoio a sforzo di taglio	
	ra 23. Stato tensivo serbatoio a momento flettente	

#### 1 DESCRIZIONE GENERALE DELLØOPERA

#### 1.1 DESCRIZIONE DELL@INTERVENTO

La presente relazione tecnica e dei materiali, ha come oggetto il complesso di manufatti strutturali che costituiscono lømpianto di trattamento SVE (Soil Vapour Extraction) che verrà realizzato per la bonifica ambientale dellørea di Poggio Gagliardo, nel Comune di Montescudaio (PI).

#### 1.2 DESCRIZIONE DELLE OPERE

Di seguito si elencano gli interventi di costruzione che saranno necessari per la realizzazione delloimpianto di trattamento SVE e sottoposti a verifica strutturale.

I manufatti che verranno realizzati sono i seguenti:

- una platea di fondazione in c.a., avente funzione di fondazione e piano di lavoro dello impianto di trattamento, le cui caratteristiche vengono dettagliate negli elaborati E2.3, E4.1 e nelle Tav. 08.1 ed 08.2;
- una tettoia di copertura in legno, le cui caratteristiche costruttive vengono dettagliate negli elaborati E2.3, E4.1 e nelle Tav. 08.1 ed 08.2;
- altri manufatti ausiliari, in particolare una passerella calpestabile in acciaio le cui caratteristiche costruttive vengono dettagliate negli elaborati Tav.09.3 e 09.4;
- unøapparecchiatura destinata alla separazione di condensa SC-01 in acciaio inox, le cui caratteristiche costruttive vengono dettagliate nelløelaborato Tav.10.1.
- unøapparecchiatura destinata alla filtrazione a carboni attivi FC-01 ed FC-02 in acciaio inox, le cui caratteristiche costruttive vengono dettagliate nelløelaborato Tav.10.2.

#### 1.2.1 Platea di fondazione impianto

Løimpianto di trattamento SVE sarà realizzato su una platea di fondazione in cemento armato gettato in opera. Løintera struttura poggerà su una fondazione del tipo a platea ed il piano di posa sarà posizionato a quota + 0,10 cm rispetto al piazzale esistente ed avrà dimensioni in pianta di 18,50 x 6,50 mt e spessore 30 cm. Sotto il piano della suddetta fondazione a platea, si svilupperà un cunicolo in cemento armato che permetterà il passaggio delle alimentazioni elettriche e pneumatiche alle apparecchiature ed ai dispositivi a servizio delløimpianto SVE e la distribuzione delle tubazioni in ingresso al sistema di trattamento. Il cunicolo in cemento armato avrà uno

spessore di parete costante di 30 cm e sezione variabile sia in altezza che in larghezza. Nello specifico:

- ✓ il cunicolo per la distribuzione delle alimentazioni elettriche avrà dimensioni interne L 50 cm xH 55 cm;
- ✓ il cunicolo per l\( \parrivo\) delle tubazioni interrate avr\( \text{à}\) dimensioni interne L (variabile tra 60 e 120 cm)x H 100 cm

Il cunicolo verrà chiuso superiormente con lastre grigliate in PRFV dello spessore di 38 mm posate su angolari in acciaio di dimensioni 45x45x5 mm ancorati alla struttura in c.a. per mezzo di zanche annegate nel getto in cemento armato.

La fondazione ed il cunicolo verranno gettati su un letto di posa costituito da uno strato di calcestruzzo per getti non armati (magrone) dello spessore di circa 10 cm.

Per la realizzazione della platea saranno utilizzati:

- calcestruzzo C 32/40 con classe di esposizione XS1;
- ferro ad aderenza migliorata tipo B 450C.

Di seguito vengono riportate due viste assonometriche contrapposte, allo scopo di consentire una migliore comprensione della struttura oggetto della presente relazione:

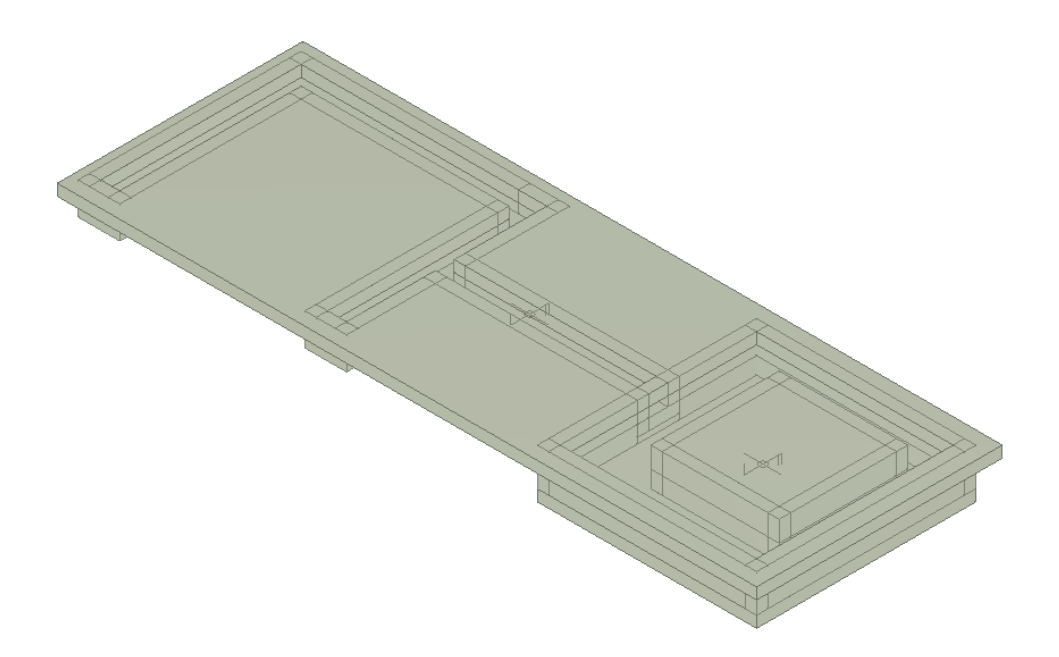


Figura 1. Vista anteriore platea di fondazione impianto

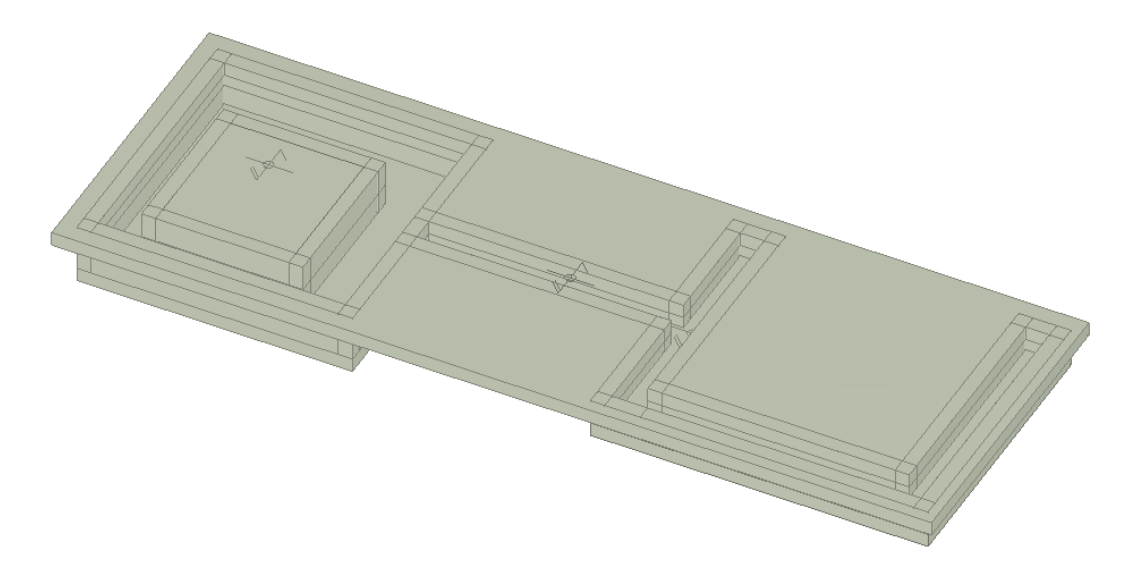


Figura 2. Vista posteriore platea di fondazione impianto

#### 1.2.2 Tettoia di copertura in legno

Le apparecchiature a servizio del sistema di trattamento SVE, alloggiate sulla platea di fondazione descritta nel paragrafo precedente, saranno protette dalle intemperie e dagli agenti atmosferici grazie alla realizzazione di una tettoia di dimensioni in pianta di 6,5x19,00 m circa; con struttura portante in legno lamellare ed acciaio, costituita da pilastri in legno lamellare e capriate tipo Palladiana in legno lamellare. La capriata sarà costituita da travi in legno lamellare di sezione 20x20.

I pilastri su cui poggia la copertura avranno sezione variabile e nello specifico:

- 4 pilastri laterali di dimensioni 22x22 cm
- 4 pilastri centrali di dimensione variabile in altezza. Sezione del pilastro 44x22 cm fino alla quota +4,00 m per poi ridursi fino alla quota di +5,50 m a dimensioni 22x22 cm.

I controventi di falda saranno costituiti da tubolari in acciaio di dimensioni O54x2.9. Le unioni tra i vari elementi strutturali (pilastro-fondazione, capriata-pilastro, arcareccio-capriata) saranno realizzate con pezzi speciali in acciaio.

La tettoia si svilupperà su due livelli distinti:

- $\checkmark$  una parte centrale a quota +5,50 m da piano finito della platea di fondazione;
- ✓ due ali laterali a quota +4,00 m dal piano finito della platea di fondazione.

Per la realizzazione della tettoia saranno utilizzati:

• Legno lamellare tipo GL24h di abete;

#### Acciaio tipo S275.

La copertura sarà completata con løinstallazione di pannelli, costituiti da lastre monostrato ondulate, di altezza 3,5 cm, a base di fibre organiche bitumate e resinate dello spessore di 3 mm (tipo Onduline o similare), inchiodate su un tavolato costituito da perlinato di abete dello spessore di 2 cm, a sua volta fissato agli arcarecci delle capriate in legno aventi interasse di circa 1 metro.

Le capriate in legno lamellare saranno poste ad un interasse di circa 6 m løuna dalløaltra, ad eccezione delle due coppie di capriate affiancate, in corrispondenza della parte centrale di copertura, che saranno poste in opera, invece, su piani diversi e nello specifico una a quota +4,00 m e una a quota +5,50 m. La copertura lignea sopra descritta coprirà løintera area costituita dalla platea in cemento armato e avrà di dimensioni in pianta di 18,50x6,50 m.

Vengono riportate di seguito due viste assonometriche contrapposte, allo scopo di consentire una migliore comprensione della struttura oggetto della presente relazione:

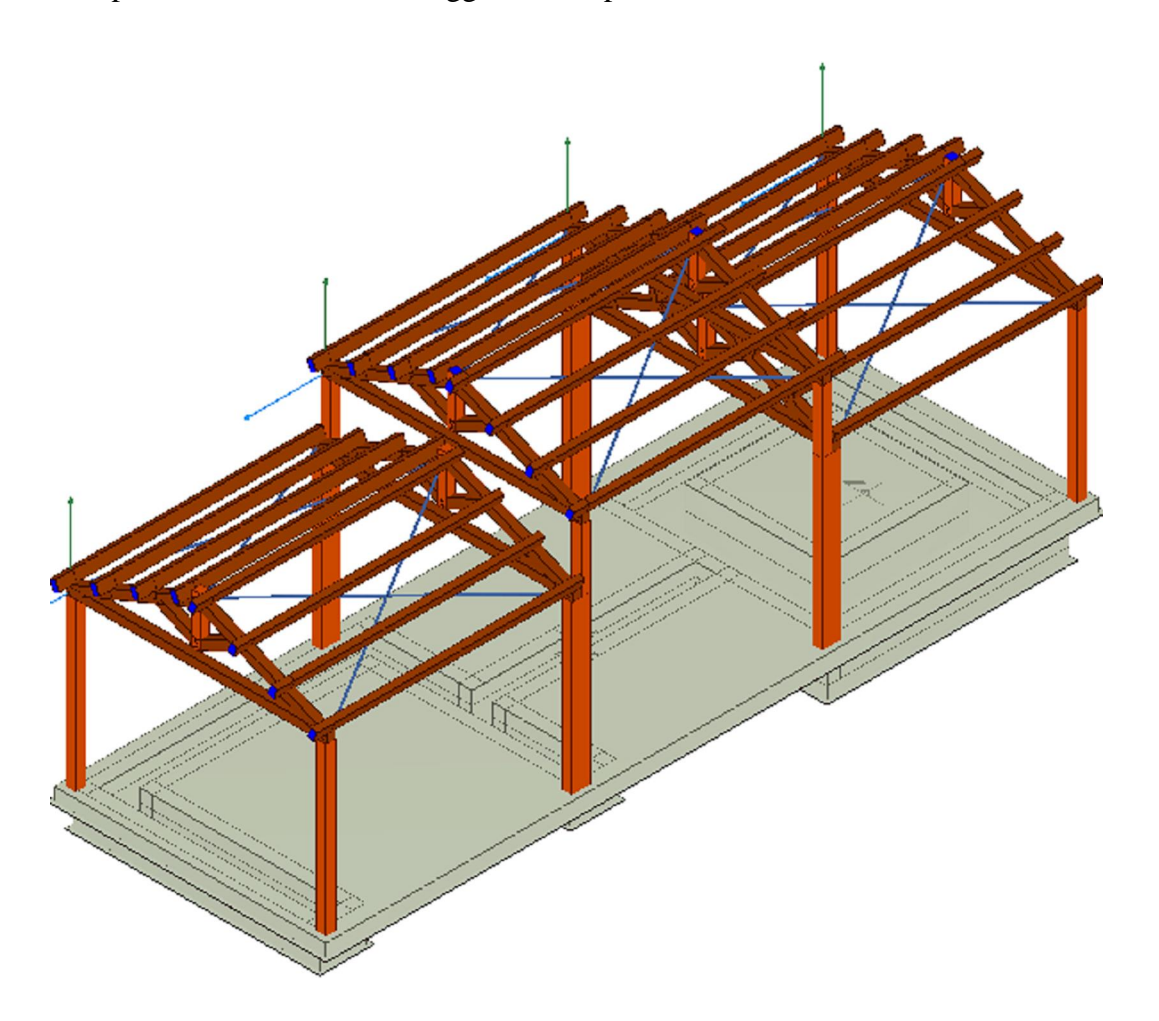


Figura 3. Vista anteriore tettoia di copertura impianto

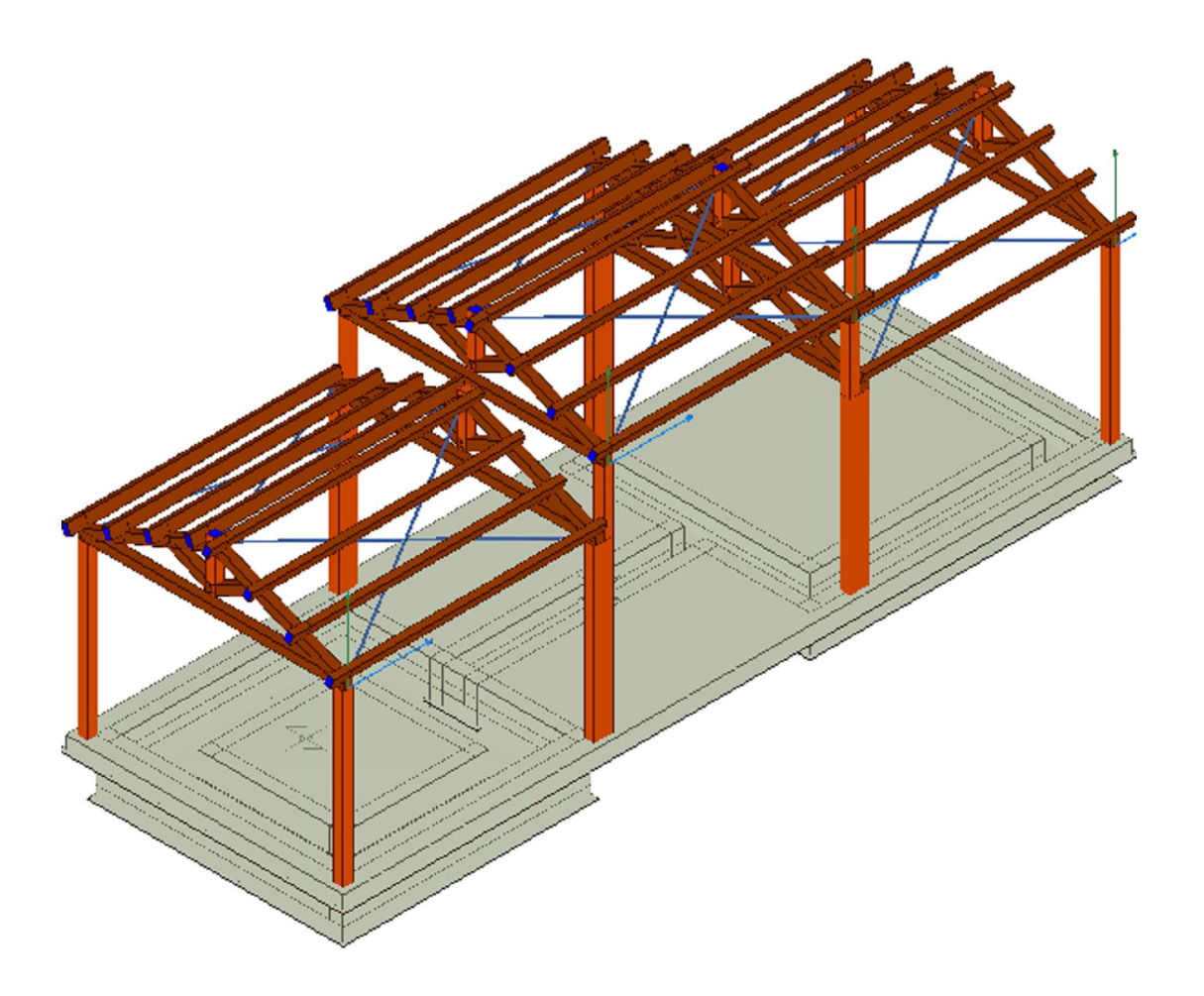


Figura 4. Vista posteriore tettoia di copertura impianto

#### 1.2.3 Passerella calpestabile

Sotto la struttura in legno descritta nel paragrafo precedente, verrà installata una passerella in acciaio per l\( \phi\) accesso e la manutenzione della parte superiore dei filtri a carboni attivi, posizionati in corrispondenza della parte centrale della platea, e del camino di emissione.

La struttura della passerella sarà completamente in acciaio e sarà costituita da pilastri con profilati UPN 120 e da travi UPN 120 che sosterranno il solaio in PRFV dello spessore di 50 mm posato su angolari in acciaio di dimensioni 55x55x6 mm saldati alla struttura in acciaio della passerella. Il solaio sarà posto a quota +3,00 m dal piano finito della platea di fondazione. Due scale alla marinara in acciaio inox consentiranno l\( \textit{gaccesso} \) alla passerella in quota. La passerella avr\( \textit{a} \) uno sviluppo in pianta a \( \textit{o}T\( \textit{o} \) per un\( \textit{garea} \) atotale di circa 8,4 mq. Sar\( \textit{a} \) realizzato un sistema di controventi verticali in corrispondenza delle due scale alla marinara e dell\( \textit{gestremit}\( \textit{a} \) della

passerella lato separatore di condense; inoltre verrà realizzato un sistema di controventi orizzontali lungo lo sviluppo della passerella tra i due filtri a carboni. Tutti gli elementi di controvento avranno un profilo tubolare in acciaio di dimensioni O42.4x2.9 per i controventi orizzontali e O54x2.9 per i controventi verticali

Lungo tutto il perimetro della passerella, sarà installato un parapetto in profilati in acciaio di altezza pari a 1,10 mt che avrà la funzione di evitare il pericolo delle cadute dall\( \textit{galto} \).

Per la realizzazione della passerella saranno utilizzati:

• Acciaio tipo S275.

Vengono riportate di seguito due viste assonometriche contrapposte, allo scopo di consentire una migliore comprensione della struttura oggetto della presente relazione:

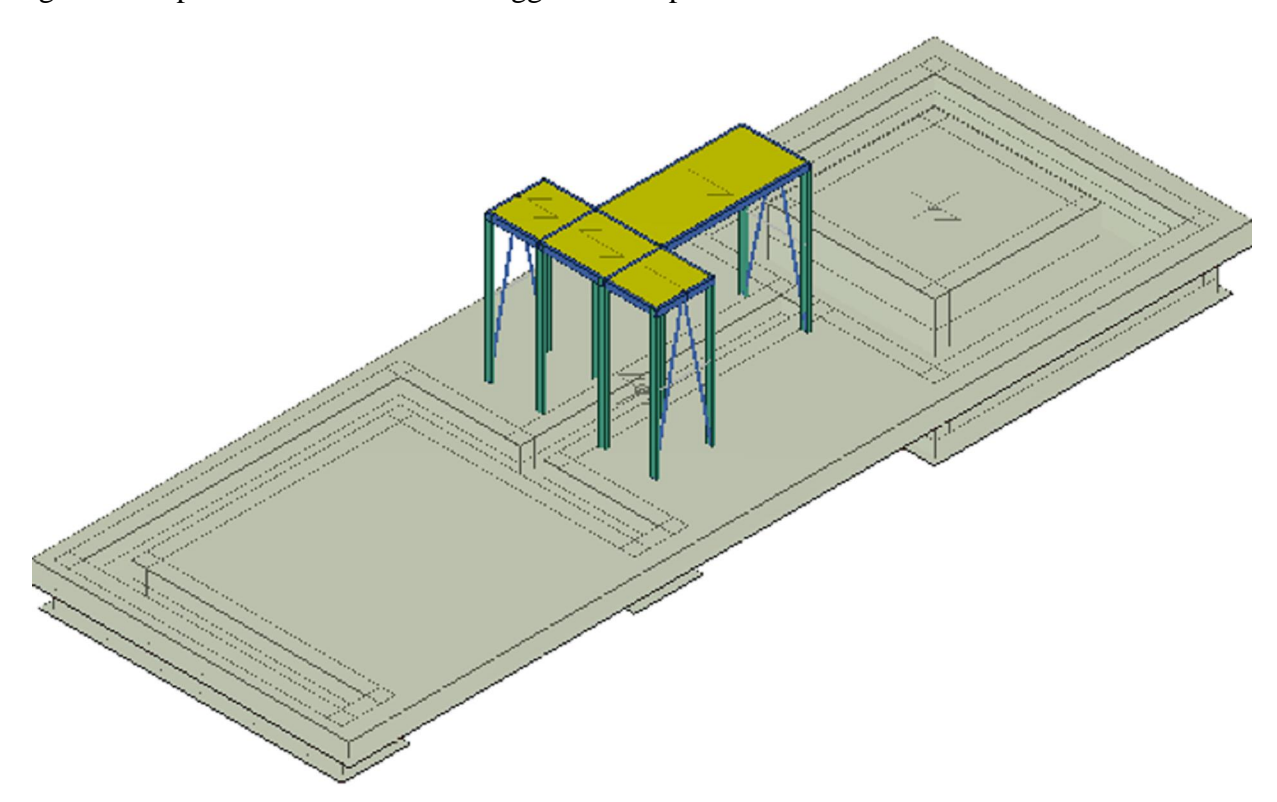


Figura 5. Vista anteriore passerella in acciaio

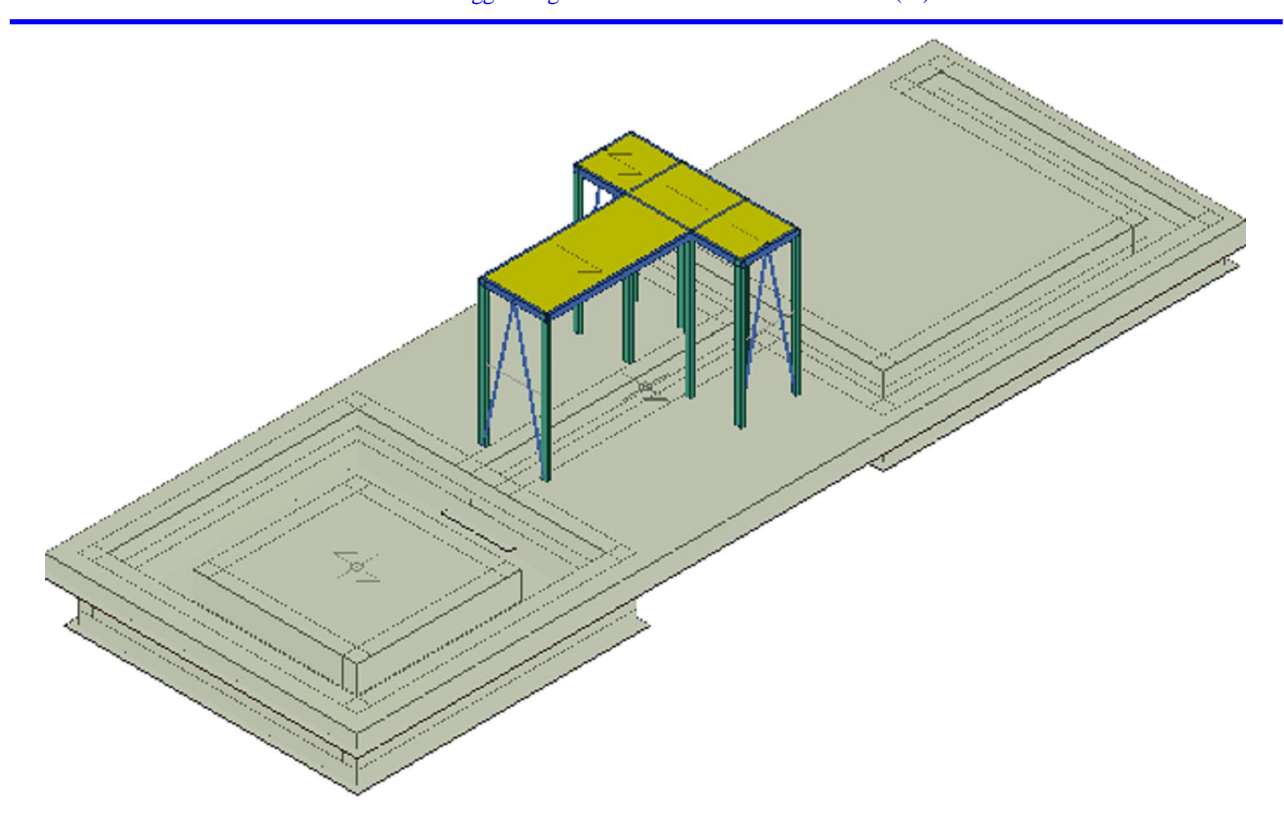


Figura 6. Vista posteriore passerella in acciaio

## 1.2.4 Separatore di condensa e filtri a carbone attivi

A servizio dello impianto di trattamento SVE sono previsti tre manufatti in acciaio che costituiranno parte sostanziale di tutto il sistema di trattamento.

In particolare verranno installati:

- ✓ N.1 separatore di condense;
- ✓ N.2 filtri a carbone.

I manufatti saranno realizzati in acciaio di spessore 4 mm sia per il fasciame cilindrico che per i fondi curvi di chiusura delle estremità del fasciame inferiore e superiore.

Sia i filtri a carboni che il separatore di condense poggeranno sulla platea di fondazione descritta nei paragrafi precedenti e saranno collegati ad essa con quattro profili ad õLö 150x150 in acciaio S275 di altezza da terra variabile tra 1,25 m (separatore di condense) e 1,75 (filtri a carboni). I profili ad õLö saranno saldati ad una estremità ad una piastra saldata al fasciame cilindrico e alla base ad una piastra di dimensioni 400x400x10 mm ancorata tramite tirafondi alla soletta di fondazione. Il diametro esterno dei fasciami cilindrici sarà per tutti e tre gli elementi pari a 1.910 mm. Per la realizzazione del separatore di condensa e dei filtri a carboni sarà utilizzato:

• Acciaio inox tipo AISI304.

#### 2 NORMATIVA DI RIFERIMENTO

Le fasi di analisi e verifica della struttura sono state condotte in accordo alle seguenti disposizioni normative, per quanto applicabili in relazione al criterio di calcolo adottato dal progettista, evidenziato nel prosieguo della presente relazione:

**Legge 5 novembre 1971 n. 1086** (G. U. 21 dicembre 1971 n. 321)

öNorme per la disciplina delle opere di conglomerato cementizio armato, normale e precompresso ed a struttura metallicaö

**Legge 2 febbraio 1974 n. 64** (G. U. 21 marzo 1974 n. 76)

öProvvedimenti per le costruzioni con particolari prescrizioni per le zone sismicheö Indicazioni progettive per le nuove costruzioni in zone sismiche a cura del Ministero per la Ricerca scientifica - Roma 1981.

**D. M. Infrastrutture Trasporti 14 gennaio 2008** (G.U. 4 febbraio 2008 n. 29 - Suppl. Ord.) öNorme tecniche per le Costruzioniö

Inoltre, in mancanza di specifiche indicazioni, ad integrazione della norma precedente e per quanto con esse non in contrasto, sono state utilizzate le indicazioni contenute nella:

Circolare 2 febbraio 2009 n. 617 del Ministero delle Infrastrutture e dei Trasporti (G.U. 26 febbraio 2009 n. 27 ó Suppl. Ord.)

õIstruzioni per l'applicazione delle 'Norme Tecniche delle Costruzioni' di cui al D.M. 14 gennaio 2008ö.

#### 3 MATERIALI IMPIEGATI E RESISTENZE DI CALCOLO

Per la realizzazione dei manufatti in oggetto saranno impiegati i seguenti materiali:

#### MATERIALI CALCESTRUZZO ARMATO

										Ca	aratterist	iche Calc	estruzzo	Armato
N	$\gamma_{\mathbf{k}}$	CdT	E	G	Stz	$\mathbf{R}_{\mathrm{ck}}$	$\mathbf{R}_{\mathrm{cm}}$	$R_{ck}$	γε	$\mathbf{f}_{cd}$	$\mathbf{f}_{\mathrm{ctd}}$	$\mathbf{f}_{cfm}$	n	n Ac
	[N/m <sup>3</sup> ]	[1/°C]	[N/mm <sup>2</sup> ]	[N/mm <sup>2</sup> ]		[N/mm <sup>2</sup> ]	[N/mm <sup>2</sup> ]							
Cls C32	2/40_B450C	- (C32/40)												
004	25.000	0,000010	33.643	14.018	P	40,00	-	0,85	1,50	18,81	1,45	3,72	15	005

#### LEGENDA Caratteristiche Calcestruzzo Armato

N Numero identificativo del materiale.

γ<sub>k</sub> Peso specifico.

**CdT** Coefficiente di Dilatazione Termica.

E Modulo elastico normale.G Modulo elastico tangenziale.

Stz Indica il Tipo Situazione': [F] = materiale 'di Fatto' (Esistente)(tiene conto del LC/FC); [P] = materiale 'di Progetto' (Nuovo);

 $egin{array}{ll} R_{ck} & Resistenza caratteristica cubica. \\ R_{cm} & Resistenza media cubica. \end{array}$ 

----

 ${}^{\mbox{\it M}}_{ck}$  Percentuale di riduzione della  $R_{ck}$ 

 $\gamma_c$  Coefficiente di sicurezza allo SLV del materiale.

 $\mathbf{f}_{cd}$  Resistenza di calcolo a compressione.  $\mathbf{f}_{ctd}$  Resistenza di calcolo a trazione.

f<sub>cfm</sub> Resistenza media a trazione per flessione.

n Coefficiente di omogeneizzazione.

n Ac Identificativo, nella relativa tabella materiali, dell'acciaio utilizzato: [-] = parametro NON significativo per il materiale.

#### **MATERIALI ACCIAIO**

													Cara	tteristiche	Acciaio
N	γk	CdT	E	G	Stz	$f_{yk,1}/f_{yk,2}$	$\mathbf{f}_{tk}$	$f_{yd,1}/f_{yd,2}$	$\mathbf{f}_{td}$	$\gamma_{s}$	γм1	γм2	γм3,SLV	γм3,sle	γм7
	[N/m <sup>3</sup> ]	[1/°C]	[N/mm <sup>2</sup> ]	[N/mm <sup>2</sup> ]	[N/m m <sup>2</sup> ]	[N/mm <sup>2</sup> ]	[N/mm <sup>2</sup> ]	[N/mm <sup>2</sup> ]	[N/mm <sup>2</sup> ]						
S275	- (S275)														
001	78.500	0,000012	210.000	80.769	P	275,00	-	261,90	-	1,05	1,05	1,25	-	-	-
Accia	nio B450C -	(B450C)				255,00		242,86							
005	78.500	0,000010	210.000	80.769	P	450,00	-	391,30	-	1,15	-	-	-	-	-

#### LEGENDA Caratteristiche Acciaio

N Numero identificativo del materiale.

γ<sub>k</sub> Peso specifico.

**CdT** Coefficiente di Dilatazione Termica.

E Modulo elastico normale.G Modulo elastico tangenziale.

Stz Indica il Tipo Situazione': [F] = materiale 'di Fatto' (Esistente) (tiene conto del FC); [-/P] = materiale 'di Progetto' (Nuovo); [-] = resistenze

medie /caratteristiche del materiale.

													Cara	tteristiche	Acciaio
N	$\gamma_{\mathbf{k}}$	CdT	E	G	Stz	$f_{yk,1}/\ f_{yk,2}$	$\mathbf{f}_{\mathrm{tk}}$	$f_{yd,1}/\ f_{yd,2}$	$\mathbf{f}_{\mathrm{td}}$	$\gamma_{\rm s}$	γм1	γм2	γm3,slv	γм3,sle	γм7
	[N/m <sup>3</sup> ]	N/m <sup>3</sup> ] [1/°C] [N/mm <sup>2</sup> ]													
f <sub>yk,1</sub>		Resistenza ca	ratteristica	allo snerva	mento	(per profili	i con t <= 4	0 mm).							
$f_{yk,2} \\$	Resistenza caratteristica allo snervamento (per profili con 40 mm < t <= 80 mm).														
$\mathbf{f}_{tk}$		Resistenza a	Rottura (Bu	ılloni).											

 $\mathbf{f}_{yd,1}$  Resistenza di calcolo (per profili con t <= 40 mm).

 $\mathbf{f}_{yd,2}$  Resistenza di calcolo (per profili con 40 mm < t <= 80 mm).

**f**<sub>td</sub> Resistenza di calcolo a Rottura (Bulloni).

 $\gamma_s$  Coefficiente di sicurezza allo SLV del materiale.

 $\gamma_{M1}$  Coefficiente di sicurezza per instabilità.

γ<sub>M2</sub> Coefficiente di sicurezza per sezioni tese indebolite.
 γ<sub>M3,SLV</sub> Coefficiente di sicurezza a scorrimento alla SLV (Bulloni).
 γ<sub>M3,SLE</sub> Coefficiente di sicurezza a scorrimento alla SLE (Bulloni).

γ<sub>M7</sub> Coefficiente di sicurezza precarico bulloni ad alta resistenza (Bulloni): [-] = parametro NON significativo per il materiale.

#### **MATERIALI LEGNO**

															Cara	tteristich	e Legno
N	Tipo	γk	γmean	G <sub>Mean</sub>	Stz	$f_{m,k}$	$f_{v,k}$	γм	γм, е	$\beta_c$	Dir	αt, i	E <sub>i.05</sub>	G <sub>i.05</sub>	E <sub>i, mean</sub>	$\mathbf{f}_{\mathrm{c,i,k}}$	$\mathbf{f}_{t,i,k}$
		[N/m <sup>3</sup> ]	[N/m <sup>3</sup> ]	[N/mm <sup>2</sup> ]	[N/m m <sup>2</sup> ]	[N/mm <sup>2</sup> ]	[N/mm <sup>2</sup> ]	[-]	[-]	[-]		[1/°C]	[N/mm <sup>2</sup> ]	[N/mm <sup>2</sup> ]	[N/mm <sup>2</sup> ]	[N/mm <sup>2</sup> ]	[N/mm <sup>2</sup> ]
LL G	L24h -	(GL24h	1)														
											0	0,000004	9.400	583	11.600	24,00	16,50
002	L	3.800	3.800	720	P	24,00	2,700	1,45	1,00	0,1	90	0,000058	-	-	390	2,70	0,40
											90	0,000058	-	-	233	2,00	0,40

#### LEGENDA Caratteristiche Legno

Numero identificativo del materiale.

Tipo Tipologia ai fini del calcolo di KMOD (Tab. 4.4.IV DM 14/01/2008): [M/L] = Legno massiccio o lamellare.

 $\gamma_{\mathbf{k}}$  Peso specifico caratteristico.

γ<sub>Mean</sub> Peso specifico medio.

Gmean Modulo Elastico Tangenziale.

Stz Indica il 'Tipo Situazione' : [F] = materiale 'di Fatto' (Esistente) (tiene conto del FC); [-/P] = materiale 'di Progetto' (Nuovo); [-] = resistenze

medie /caratteristiche del materiale.

 $\mathbf{f}_{m,k}$  Resistenza a flessione.  $\mathbf{f}_{v,k}$  Resistenza a taglio.

γ<sub>M</sub> Coefficiente parziale di sicurezza per le combinazioni fondamentali (Tab. 4.4.III DM 14/01/2008).

γ<sub>M, e</sub> Coefficiente parziale di sicurezza per le combinazioni eccezionali (Tab. 4.4.III DM 14/01/2008).

 $\beta_c$  Coefficiente di imperfezione per la verifica di instabilità (p.4.4.8.2.2 DM 14/01/2008).

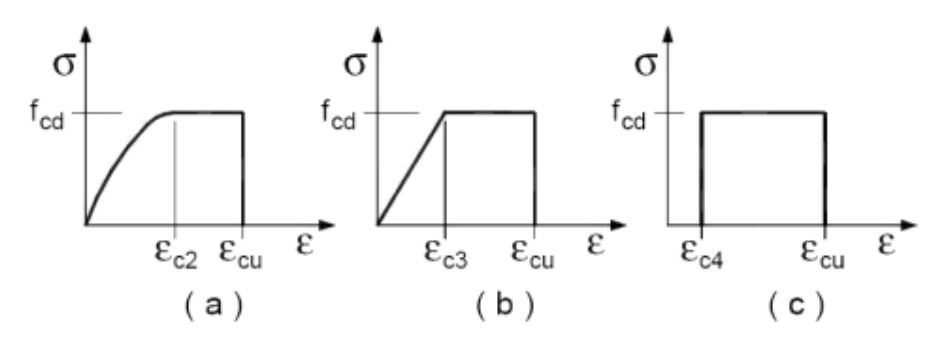
**Dir** Direzione: [0] = parallelo alle fibre, [90] = perpendicolare alle fibre.

 $\begin{aligned} &\alpha_{T,\,i} & & & & & & & & & \\ & & & & & & & & \\ & & & & & & & \\ & & & & & & \\ & & & & & & \\ & & & & & & \\ & & & & & \\ & & & & & \\ & & & & & \\ & & & & & \\ & & & & \\ & & & & \\ & & & & \\ & & & & \\ & & & & \\ & & & & \\ & & \\ & & & \\ & & & \\ & & & \\ & & & \\ & & & \\ & & &$ 

 $E_{i,\,mean}$  Modulo elastico normale medio [i = (0, 90)].

 $\mathbf{f}_{c,i,k}$  Resistenza caratteristica a compressione [i = (0, 90)]  $\mathbf{f}_{t,i,k}$  Resistenza caratteristica a trazione [i = (0, 90)]. Tutti i materiali impiegati dovranno essere comunque verificati con opportune prove di laboratorio secondo le prescrizioni della vigente normativa.

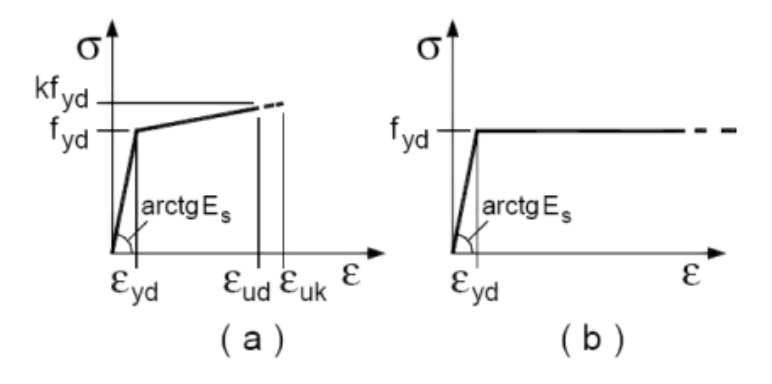
I diagrammi costitutivi del calcestruzzo sono stati adottati in conformità alle indicazioni riportate al punto 4.1.2.1.2.2 del D.M. 14 gennaio 2008; in particolare per le verifiche effettuate a pressoflessione retta e pressoflessione deviata è adottato il modello riportato in fig. (a).



Diagrammi di calcolo tensione/deformazione del calcestruzzo.

La deformazione massima  $\varepsilon_{c \text{ max}}$  è assunta pari a 0.0035.

I diagrammi costitutivi delloacciaio sono stati adottati in conformità alle indicazioni riportate al punto 4.1.2.1.2.3 del D.M. 14 gennaio 2008; in particolare è adottato il modello elastico perfettamente plastico rappresentato in fig. (b).



La resistenza di calcolo è data da  $f_{yk}/\gamma_f$ . Il coefficiente di sicurezza  $\gamma_f$  si assume pari a 1.15.

#### MATERIALI ACCIAIO PER FASCIAMI CILINDRICI

EN		ASTM	С	N	Cr	Ni	Mo	Altri
1.4301		304	0.04		18.1	8.3		<i>5</i>
1.4307		304 /304L	0.02	-	18.1	8.3	*	+
Prop	rietà Mec	caniche Valori Tipio	i a 20°C					
		Tensione di snervan	iento		Tensione di	rottura	Allungamento	Durezza
EN	ASTM	Rp0.2 MPa	F	R.p1.0 MPa	Rm MPa		A5%	НВ
1.4301	304	290/300	3	30/330	600/600		55/55	165/175
1.4307	304/304L	280/300	3	20/330	580/600		55/55	165/175
Prop	rietà fisic	he						
Prop	rietà fisic Densità	he Modulo di elasticità	Conducit	oilità termica	Resistenz	ra al calo	re Resistenz	a elettrica
	001001001000000	20	Conducit	vilità termica	Resistenz	ra al calo	ore Resistenza	a elettrica
Kg/dm3	Densità	20	Conducit	oilità termica	Resistenz	ra al calo	ore Resistenz	a elettrica
Kg/dm3 GPa	Densità	Modulo di elasticità	Conducit	oilità termica	Resistenz	a al calo	ore Resistenz	a elettrica
Proposition Registration Regist	Densità	Modulo di elasticità		oilità termica	Resistenz	a al calo	re Resistenz	a elettrica

#### 4 TERRENO DI FONDAZIONE

I valori di letteratura raccolti, hanno permesso di ipotizzare che il terreno su cui verranno realizzati i manufatti oggetto della presente relazione tecnica, sia assimilabile alla categoria B [Rocce tenere e depositi di terreni a grana grossa molto addensati o terreni a grana fina molto consistenti con spessori superiori a 30 m, caratterizzati da un graduale miglioramento delle proprietà meccaniche con la profondità e da valori di Vs, 30 compresi tra 360 m/s e 800 m/s (ovvero NSPT, 30 > 50 nei terreni a grana grossa e cu, 30 > 250 kPa nei terreni a grana fina).], così come definito al Decreto Ministero Infrastrutture Trasporti 14 gennaio 2008 (G. U. 4 febbraio 2008, n. 29 - Suppl.Ord.) õNorme tecniche per le Costruzioniö.

#### 5 ANALISI DEI CARICHI

Unøaccurata valutazione dei carichi è un requisito imprescindibile di una corretta progettazione, in particolare per le costruzioni realizzate in zona sismica.

Essa, infatti, è fondamentale ai fini della determinazione delle forze sismiche, in quanto incide sulla valutazione delle masse e dei periodi propri della struttura dai quali dipendono i valori delle accelerazioni (ordinate degli spettri di progetto).

La valutazione dei carichi e dei sovraccarichi è stata effettuata in accordo con le disposizioni del **Decreto Ministero Infrastrutture Trasporti 14 gennaio 2008** (G. U. 4 febbraio 2008, n. 29 - Suppl.Ord.) õNorme tecniche per le Costruzioniö.

La valutazione dei carichi permanenti è effettuata sulle dimensioni definitive.

Per quanto riguarda le azioni di calcolo delle membrature in legno, queste sono assegnate ad una delle classi di durata del carico elencate nella Tab. 4.4.I, di cui sotto.

Classe di durata del carico	Durata del carico
Permanente	Più di 10 anni
Lunga durata	6 mesi ó 10 anni
Media durata	1 settimana ó 6 mesi
Breve durata	Meno di 1 settimana
Istantanea	

Le classi di durata del carico si riferiscono ad un carico costante attivo per un certo periodo di tempo nella vita della struttura. Per ungazione variabile la classe appropriata deve essere determinata in funzione dellginterazione fra la variazione temporale tipica del carico nel tempo e le proprietà reologiche dei materiali.

Di seguito si riportano le condizioni di carico assegnate agli elementi orizzontali e di collegamento verticali, quali platee di fondazione, strutture in elevazione in acciaio e legno lamellare, relative ad ogni singolo manufatto.

#### 5.1 CLASSI DI SERVIZIO (ASTE IN LEGNO)

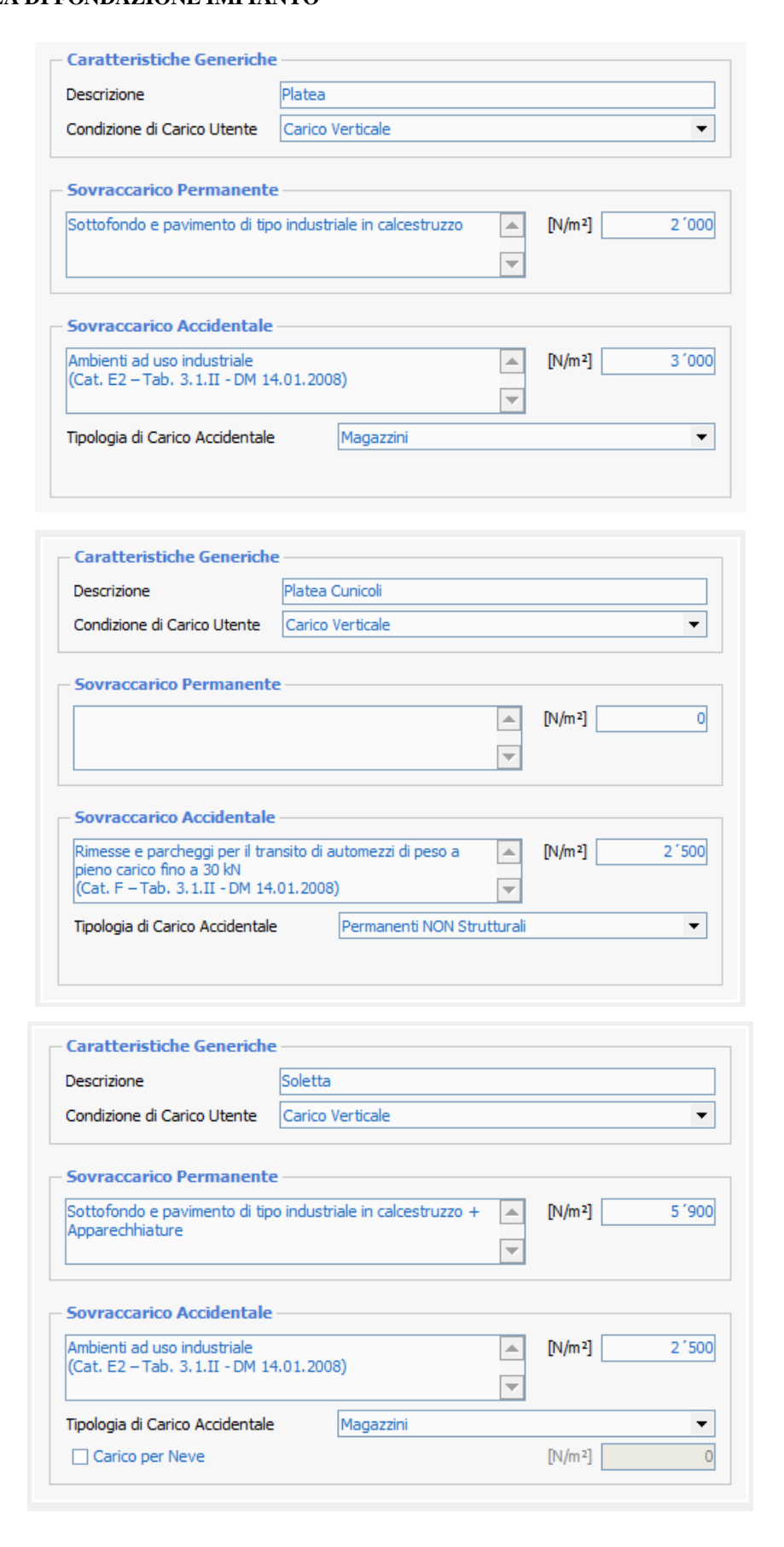
Per tener conto della sensibilità del legno alla variazione di umidità e della influenza di questa sulle caratteristiche di resistenza e di deformabilità, si definiscono tre classi di servizio elencate nella Tab. 4.4.II, di cui sotto.

Classe di servizio 1	È caratterizzata da un'umidità del materiale in equilibrio con l\( \text{\text{a}}\) mbiente a una temperatura di 20°C e un'umidità relativa dell'aria circostante che non superi il 65% se non per poche settimane all'anno.
Classe di servizio 2	É caratterizzata da unœumidità del materiale in equilibrio con læmbiente a una temperatura di 20°C e un'umidità relativa dell'aria circostante che superi l'85% solo per poche settimane all'anno.
Classe di servizio 3	Eøcaratterizzata da umidità più elevata di quella della classe di servizio 2.

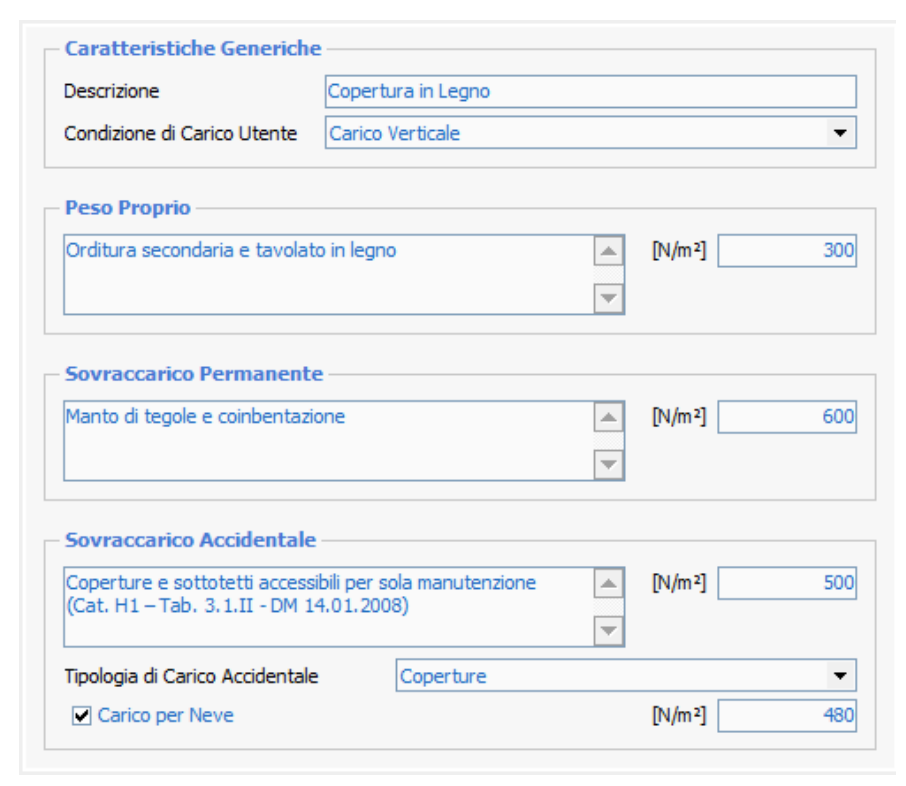
Nel caso specifico è stata considerata una Classe di servizio 2.

Di seguito si riportano i carichi valutati per i diversi elementi.

#### 5.2 PLATEA DI FONDAZIONE IMPIANTO

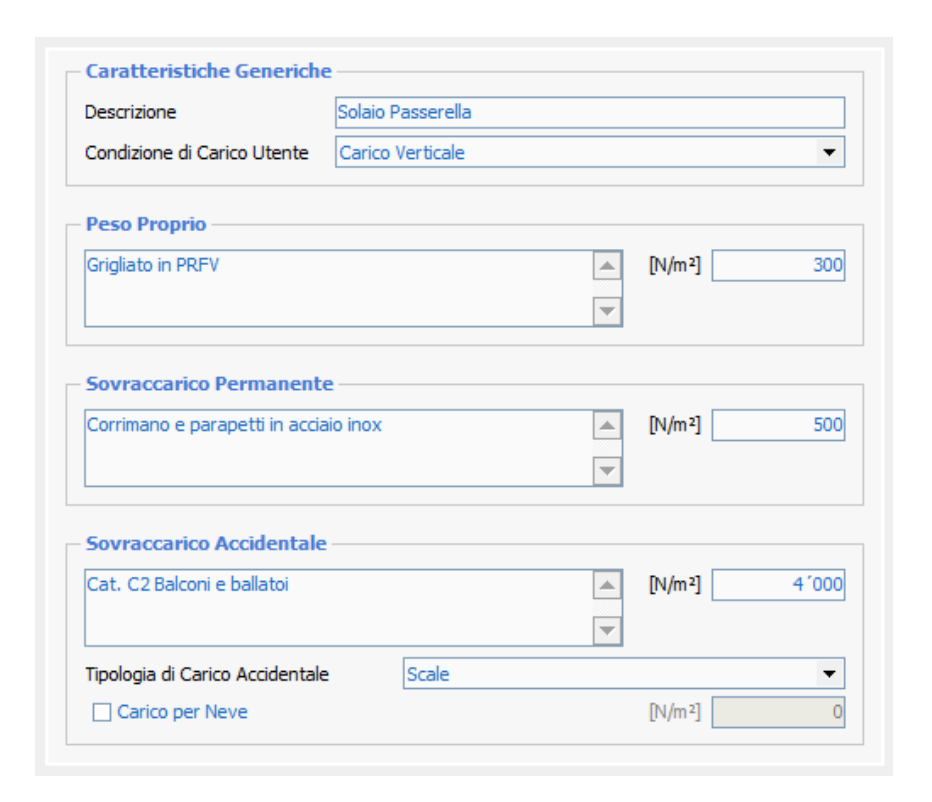


#### 5.3 TETTOIA DI COPERTURA IN LEGNO

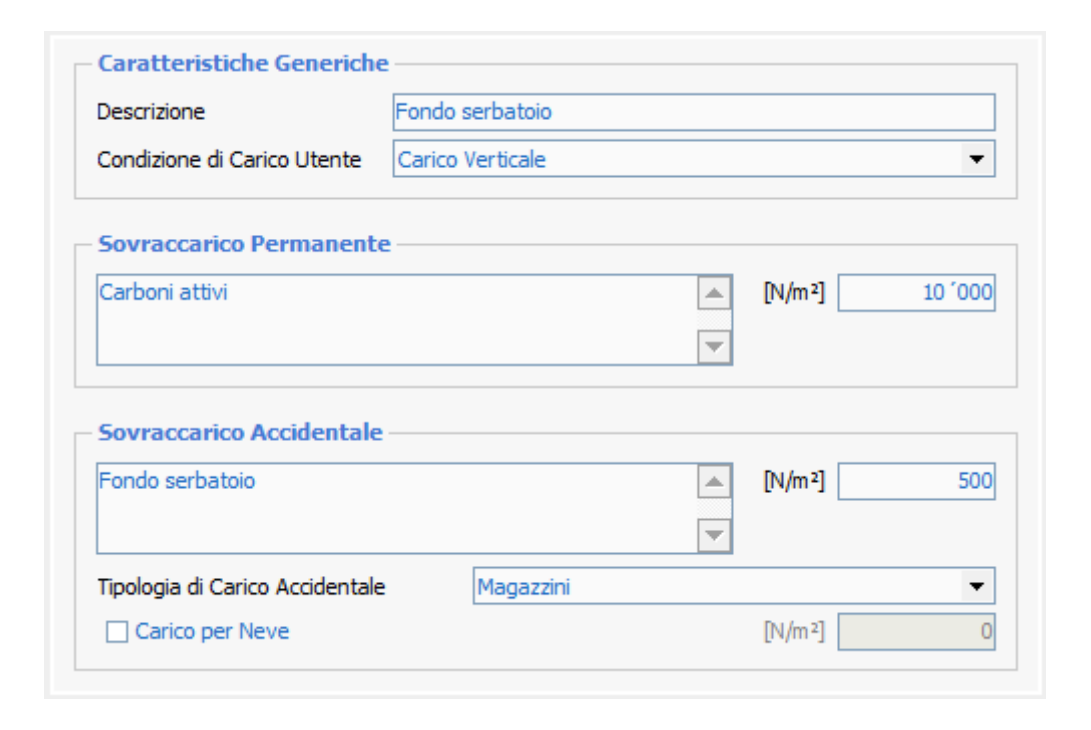


Carico Neve		
$a_{ m s(Montescudaio)}$	18,00	slm
$oldsymbol{q}_{ ext{sk}}$	0,60	$KN/m^2$
$\mathbf{C}_{E}$	1,00	
$C_{t}$	1,00	
μi	0,80	
q <sub>s(neve)</sub>	0,48	KN/m <sup>2</sup>
Carico Vento		
$\mathbf{a}_{\mathrm{s}(\mathrm{Montescudaio})}$	18,00	slm
$V_{\mathrm{b}}$	27,00	m/s
ρ	1,25	$Kg/m^3$
$z_0$	0,10	m
Z	5,50	m
$k_{\rm r}$	0,20	
$c_{t}$	1,00	
$q_{\mathrm{b}}$	0,46	$KN/m^2$
$ m C_e$	1,76	
$C_{ m p}$	0,80	
$\overset{\cdot}{\mathrm{C}_{d}}$	1,00	
P(vento)	0,64	$KN/m^2$

#### 5.4 PASSERELLA CALPESTABILE



#### 5.5 SEPARATORE DI CONDENSA E FILTRI A CARBONI ATTIVI



#### 6 VALUTAZIONE DELLØAZIONE SISMICA

Løazione sismica è stata valutata in conformità alle indicazioni riportate al capitolo 3.2 del D.M. 14 gennaio 2008 õNorme tecniche per le Costruzioniö.

In particolare il procedimento per la definizione degli spettri di progetto per i vari Stati Limite per cui sono state effettuate le verifiche è stato il seguente:

- Individuazione, tramite latitudine e longitudine, dei parametri sismici di base a<sub>g</sub>, F<sub>0</sub> e T\*<sub>c</sub> per tutti e quattro gli Stati Limite previsti (SLO, SLD, SLV e SLC); løindividuazione è stata effettuata interpolando tra i 4 punti più vicini al punto di riferimento delløedificio.
- Determinazione dei coefficienti di amplificazione stratigrafica e topografica.
- Calcolo del periodo T<sub>c</sub> corrispondente alløinizio del tratto a velocità costante dello Spettro.

I dati così calcolati sono stati utilizzati per determinare gli Spettri di Progetto nelle verifiche agli Stati Limite considerate.

Si riportano di seguito le coordinate geografiche del sito rispetto al Datum ED50:

Latitudine	Longitudine	Altitudine
[°]	[°]	[m]
43.3170	10.5407	18

#### 6.1 VERIFICHE DI REGOLARITÀ

Sia per la scelta del metodo di calcolo, sia per la valutazione del fattore di struttura adottato, deve essere effettuato il controllo della regolarità della struttura.

La tabelle seguenti riepilogano, per le strutture in esame, le condizioni di regolarità in pianta ed in altezza soddisfatte.

## 6.1.1 Verifiche regolarità platea fondazione impianto e tettoia copertura in legno

REGOLARITÀ DELLA STRUTTURA IN PIANTA	
La configurazione in pianta è compatta e approssimativamente simmetrica rispetto a due direzioni ortogonali, in relazione alla distribuzione di masse e rigidezze	SI
Il rapporto tra i lati di un rettangolo in cui la costruzione risulta inscritta è inferiore a 4	SI
Nessuna dimensione di eventuali rientri o sporgenze supera il 25 % della dimensione totale della costruzione nella corrispondente direzione	SI
Gli orizzontamenti possono essere considerati infinitamente rigidi nel loro piano rispetto agli elementi verticali e sufficientemente resistenti	NO

REGOLARITÀ DELLA STRUTTURA IN ALTEZZA	
Tutti i sistemi resistenti verticali (quali telai e pareti) si estendono per tutta løaltezza della costruzione	NO
Massa e rigidezza rimangono costanti o variano gradualmente, senza bruschi cambiamenti, dalla base alla sommità della costruzione (le variazioni di massa da un orizzontamento alla la sova stante più del 30% e non aumenta più del 10%); ai fini della rigidezza si possono considerare regolari in altezza strutture dotate di pareti o nuclei in c.a. o pareti e nuclei in muratura di sezione costante sulla la lezza o di telai controventati in acciaio, ai quali sia affidato almeno il 50% della zione sismica alla base	NO
Nelle strutture intelaiate progettate in CD õBö il rapporto tra resistenza effettiva e resistenza richiesta dal calcolo non è significativamente diverso per orizzontamenti diversi (il rapporto fra la resistenza effettiva e quella richiesta, calcolata ad un generico orizzontamento, non deve differire più del 20% dalløanalogo rapporto determinato per un altro orizzontamento); può fare eccezione løultimo orizzontamento di strutture intelaiate di almeno tre orizzontamenti	NO
Eventuali restringimenti della sezione orizzontale della costruzione avvengono in modo graduale da un orizzontamento al successivo, rispettando i seguenti limiti: ad ogni orizzontamento il rientro non supera il 30% della dimensione corrispondente al primo orizzontamento, né il 20% della dimensione corrispondente allørizzontamento immediatamente sottostante. Fa eccezione løultimo orizzontamento di costruzioni di almeno quattro piani per il quale non sono previste limitazioni di restringimento	SI

La rigidezza è calcolata come rapporto fra il taglio complessivamente agente al piano e  $\delta$ , spostamento relativo di piano (il taglio di piano è la sommatoria delle azioni orizzontali agenti al di sopra del piano considerato).

La struttura è pertanto:

- NON REGOLARE in pianta
- NON REGOLARE in altezza

## 6.1.2 Verifiche di regolarità Passerella calpestabile

REGOLARITÀ DELLA STRUTTURA IN PIANTA	
La configurazione in pianta è compatta e approssimativamente simmetrica rispetto a due direzioni ortogonali, in relazione alla distribuzione di masse e rigidezze	NO
Il rapporto tra i lati di un rettangolo in cui la costruzione risulta inscritta è inferiore a 4	NO
Nessuna dimensione di eventuali rientri o sporgenze supera il 25 % della dimensione totale della costruzione nella corrispondente direzione	NO
Gli orizzontamenti possono essere considerati infinitamente rigidi nel loro piano rispetto agli elementi verticali e sufficientemente resistenti	NO

REGOLARITÀ DELLA STRUTTURA IN ALTEZZA	
Tutti i sistemi resistenti verticali (quali telai e pareti) si estendono per tutta løaltezza della costruzione	SI
Massa e rigidezza rimangono costanti o variano gradualmente, senza bruschi cambiamenti, dalla base alla sommità della costruzione (le variazioni di massa da un orizzontamento alla la la sova il 25 %, la rigidezza non si riduce da un orizzontamento a quello sovrastante più del 30% e non aumenta più del 10%); ai fini della rigidezza si possono considerare regolari in altezza strutture dotate di pareti o nuclei in c.a. o pareti e nuclei in muratura di sezione costante sulla lezza o di telai controventati in acciaio, ai quali sia affidato almeno il 50% della zione sismica alla base	NO
Nelle strutture intelaiate progettate in CD õBö il rapporto tra resistenza effettiva e resistenza richiesta dal calcolo non è significativamente diverso per orizzontamenti diversi (il rapporto fra la resistenza effettiva e quella richiesta, calcolata ad un generico orizzontamento, non deve differire più del 20% dalløanalogo rapporto determinato per un altro orizzontamento); può fare eccezione løultimo orizzontamento di strutture intelaiate di almeno tre orizzontamenti	SI
Eventuali restringimenti della sezione orizzontale della costruzione avvengono in modo graduale da un orizzontamento al successivo, rispettando i seguenti limiti: ad ogni orizzontamento il rientro non supera il 30% della dimensione corrispondente al primo orizzontamento, né il 20% della dimensione corrispondente allørizzontamento immediatamente sottostante. Fa eccezione løultimo orizzontamento di costruzioni di almeno quattro piani per il quale non sono previste limitazioni di restringimento	SI

La rigidezza è calcolata come rapporto fra il taglio complessivamente agente al piano e  $\delta$ , spostamento relativo di piano (il taglio di piano è la sommatoria delle azioni orizzontali agenti al di sopra del piano considerato).

La struttura è pertanto:

- NON REGOLARE in pianta
- NON REGOLARE in altezza

6.2 CLASSE DI DUTTILITÀ

La classe di duttilità è rappresentativa della capacità dell'edificio di dissipare energia in campo

anelastico per azioni cicliche ripetute.

Le deformazioni anelastiche devono essere distribuite nel maggior numero di elementi duttili, in

particolare le travi, salvaguardando in tal modo i pilastri e soprattutto i nodi travi pilastro che

sono gli elementi più fragili.

Il D.M. 14 gennaio 2008 definisce due tipi di comportamento strutturale:

a) comportamento strutturale non-dissipativo;

b) comportamento strutturale dissipativo.

Per strutture con comportamento strutturale dissipativo si distinguono due livelli di Capacità Dissipativa o Classi di Duttilità (CD).

- CDöAö (Alta);

- CDöBö (Bassa).

La differenza tra le due classi risiede nellœntità delle plasticizzazioni cui ci si riconduce in fase di progettazione; per ambedue le classi, onde assicurare alla struttura un comportamento dissipativo e duttile evitando rotture fragili e la formazione di meccanismi instabili imprevisti, si fa ricorso ai

procedimenti tipici della gerarchia delle resistenze.

Tutte le strutture oggetto della presente relazione tecnica, che costituiscono l\(\phi\)insieme di manufatti a servizio del nuovo impianto di depurazione e trattamento delle acque reflue industriali sono

state progettate in classe di duttilità BASSA.

6.3 SPETTRI DI PROGETTO PER S.L.U. E S.L.D.

Gli edifici sono stati progettati per una Vita Nominale pari a 50 e per Classe døUso pari a 2.

In base alle indagini geognostiche effettuate si è classificato il suolo di fondazione di categoria B,

cui corrispondono i seguenti valori per i parametri necessari alla costruzione degli spettri di

risposta orizzontale e verticale:

Ingegno P & C srl Via Gramsci, 49 6 56024 6 Ponte a Egola (PI) Tel/fax: 0571497075 e-mail:info@ingegno06.it

Th 4 *		• 1	• • • •	
Parametri	ďı	nerico	โกรเโล	sismica

Stato Limite	ag	Fo	T*c	Cc	$T_{B}$	$T_{\rm C}$	$T_D$	Ss
	[g]		[s]		[s]	[s]	[s]	[s]
SLO	0.0360	2.547	0.206	1.51	0.103	0.310	1.744	1.20
SLD	0.0455	2.514	0.228	1.48	0.112	0.337	1.782	1.20
SLV	0.1129	2.503	0.270	1.43	0.129	0.386	2.051	1.20
SLC	0.1438	2.511	0.279	1.42	0.132	0.396	2.175	1.20

Per la definizione degli spettri di risposta, oltre all\( a)accelerazione ag al suolo (dipendente dalla classificazione sismica del Comune) occorre determinare il Fattore di Struttura q.

Il Fattore di struttura q è un fattore riduttivo delle forze elastiche introdotto per tenere conto delle capacità dissipative della struttura che dipende dal sistema costruttivo adottato, dalla Classe di Duttilità e dalla regolarità in altezza.

Si è inoltre assunto il Coefficiente di Amplificazione Topografica  $S_T$  pari a **1,00**.

Il fattore di struttura è calcolato secondo la relazione (7.3.1) del § 7.3.1 del D.M. 14/01/2008:

$$q=q_0xK_R$$

dove:

 $q_o$  è il valore massimo del fattore di struttura che dipende dal livello di duttilità attesa, dalla tipologia strutturale e dal rapporto  $\alpha_u/\alpha_1$  tra il valore dell'azione sismica per il quale si verifica la formazione di un numero di cerniere plastiche tali da rendere la struttura labile e quello per il quale il primo elemento strutturale raggiunge la plasticizzazione a flessione:

K<sub>R</sub> è un fattore riduttivo che dipende dalle caratteristiche di regolarità in altezza della costruzione, con valore pari ad 1 per costruzioni regolari in altezza e pari a 0,8 per costruzioni non regolari in altezza.

**N.B:** Per le costruzioni *regolari in pianta*, qualora non si proceda ad un'analisi non lineare finalizzata alla valutazione del rapporto  $\alpha_u/\alpha_1$ , per esso possono essere adottati i valori indicati nei § 7.4.3.2 del D.M. 14/01/2008 per le diverse tipologie costruttive. Per le costruzioni *non regolari in pianta*, si possono adottare valori di  $\alpha_u/\alpha_1$  pari alla media tra 1,0 ed i valori di volta in volta forniti per le diverse tipologie costruttive.

Tabella 7.5.II – Limiti superiori dei valori di  $q_0$  per le diverse tipologie strutturali e le diverse classi di duttilità.

	q	$\mathbf{q}_{0}$		
TIPOLOGIA STRUTTURALE	CD "B"	CD "A"		
a) Strutture intelaiate c) Strutture con controventi eccentrici	4	$5\alpha_u/\alpha_1$		
b1) Controventi concentrici a diagonale tesa attiva	4	4		
b2) Controventi concentrici a V	2	2,5		
d) Strutture a mensola o a pendolo inverso	2	$2\alpha_u/\alpha_1$		
e) Strutture intelaiate con controventi concentrici	4	$4\alpha_{\rm u}/\alpha_{\rm l}$		
f) Strutture intelaiate con tamponature in muratura	2	2		

Tabella 7.4.I - Valori di qo

Tipologia	q <sub>o</sub>		
	CD"B"	CD"A"	
Strutture a telaio, a pareti accoppiate, miste	$3.0\alpha_{\rm u}/\alpha_1$	$4.5 \alpha_{\rm u}/\alpha_{\rm l}$	
Strutture a pareti non accoppiate	3,0	$4.0 \alpha_u/\alpha_1$	
Strutture deformabili torsionalmente	2,0	3,0	
Strutture a pendolo inverso	1,5	2,0	

Per le strutture oggetto della presente relazione tecnica sono stati determinati i valori riportati nei paragrafi seguenti.

#### 6.3.1 Platea di fondazione della impianto e tettoia di copertura in legno

#### Stato Limite di salvaguardia della Vita

Fattore di Struttura q per sisma orizzontale in direzione X: 1,50

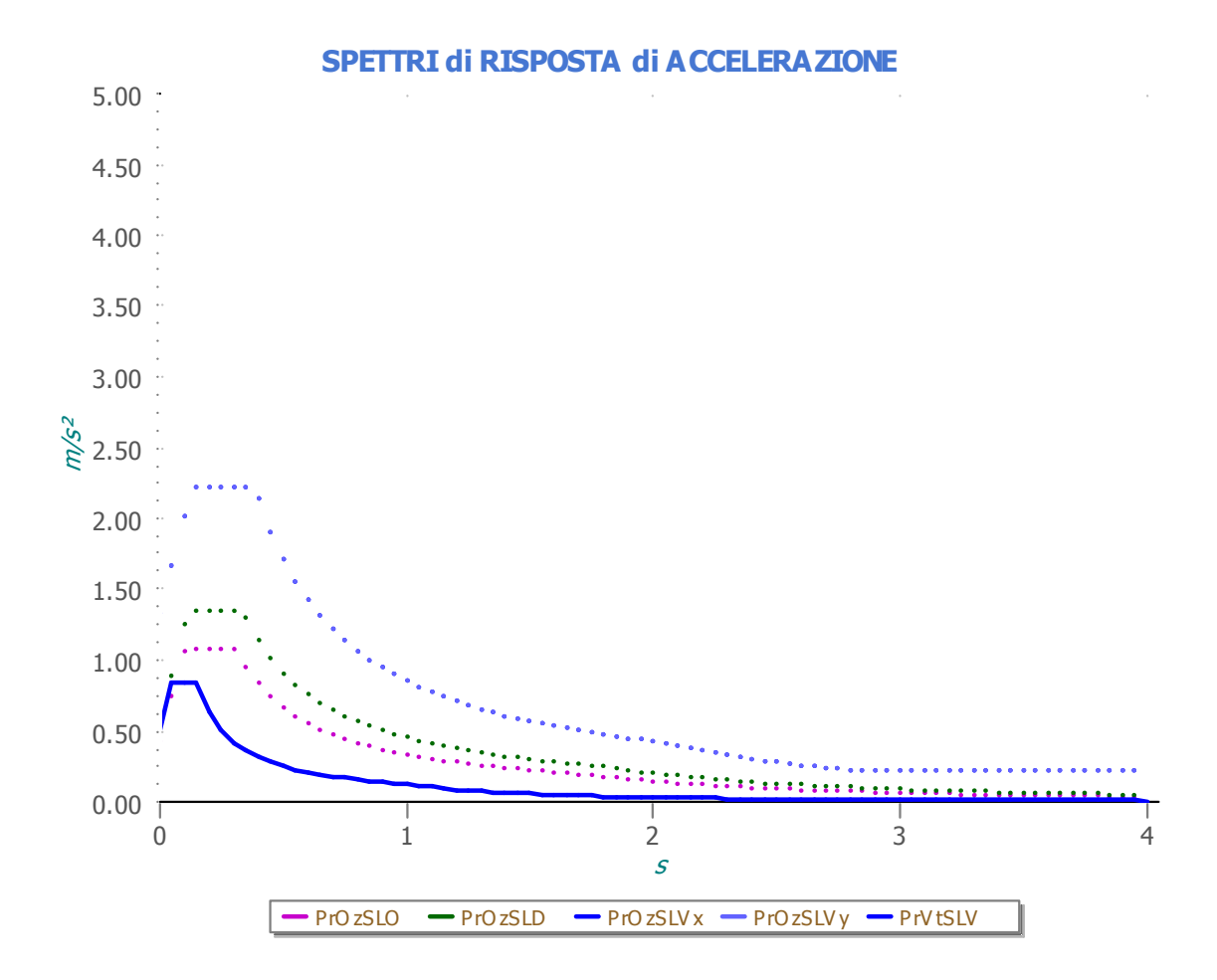
Fattore di Struttura q per sisma orizzontale in direzione Y: 1,50

Fattore di Struttura q per sisma verticale: 1,50

Di seguito si esplicita il calcolo del fattore di struttura utilizzato per il sisma orizzontale:

- 1. tipologia tab. 7.4.I D.M. 14/01/2008: **A pendolo inverso**
- 2. tipologia strutturale: -
- 3.  $\alpha_u/\alpha_1, X: \mathbf{1}$
- 4.  $\alpha_u/\alpha_1, Y: 1$
- 5. fattore di riduzione q<sub>o</sub> (kw): **1.00**
- 6. regolarità in pianta: NON REGOLARE
- 7. regolarità in altezza: NON REGOLARE

Gli spettri utilizzati sono riportati nella successiva figura.



#### 6.3.2 Passerella calpestabile

#### Stato Limite di salvaguardia della Vita

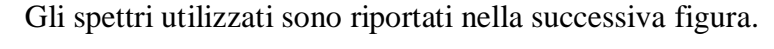
Fattore di Struttura q per sisma orizzontale in direzione X: 1,60

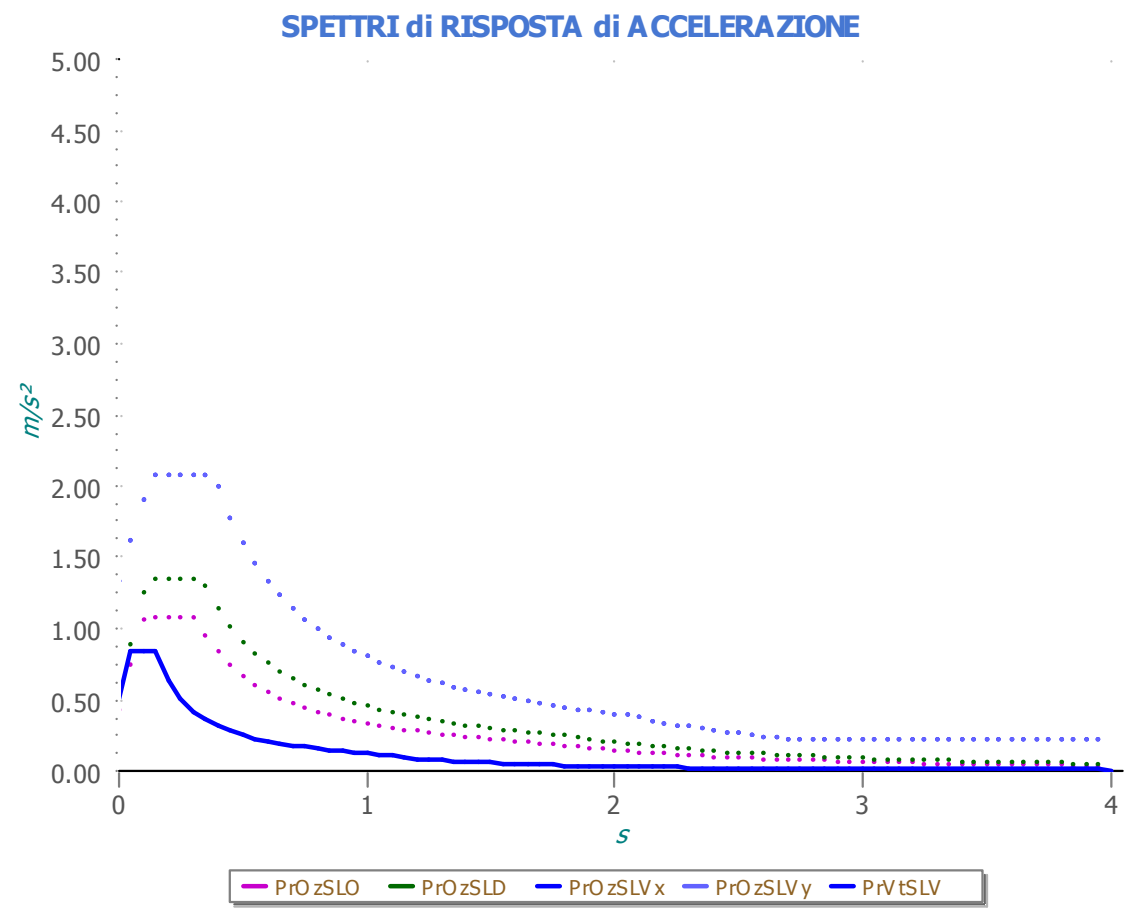
Fattore di Struttura q per sisma orizzontale in direzione Y: 1,60

Fattore di Struttura q per sisma verticale: 1,50

Di seguito si esplicita il calcolo del fattore di struttura utilizzato per il sisma orizzontale:

- tipologia tab. 7.5.II D.M. 14/01/2008: A mensola o pendolo invertito
- tipologia strutturale: -
- $\alpha_u/\alpha_1, X: \mathbf{1}$
- $\alpha_u/\alpha_1, Y: 1$
- regolarità in pianta: NON REGOLARE
- regolarità in altezza: NON REGOLARE





#### 6.4 METODO DI ANALISI

#### 6.4.1 Platea di fondazione della impianto e tettoia di copertura in legno

Il calcolo delle azioni sismiche è stato eseguito in analisi dinamica modale, considerando il comportamento della struttura in regime elastico lineare.

Il numero di modi di vibrazione considerato (20) ha consentito, nelle varie condizioni, di mobilitare le seguenti percentuali delle masse della strutture:

Stato Limite	Direzione Sisma	%
salvaguardia della vita	X	99.3
salvaguardia della vita	Y	99.2
salvaguardia della vita	Z	47.6

Per valutare la risposta massima complessiva di una generica caratteristica E, conseguente alla sovrapposizione dei modi, si è utilizzata una tecnica di combinazione probabilistica definita CQC (Complete Quadratic Combination - Combinazione Quadratica Completa):

$$E = \sqrt{\sum_{i,j=1,n} \rho_{ij} \cdot E_i \cdot E_j}$$

con:

$$\rho_{ij} = \frac{8\xi^2 \cdot \left(1 + \beta_{ij}\right) \cdot \beta_{ij}^{\frac{3}{2}}}{\left(1 - \beta_{ij}^2\right)^2 + 4\xi^2 \cdot \beta_{ij} \cdot \left(1 + \beta_{ij}^2\right)} \qquad \beta_{ij} = \frac{\omega_i}{\omega_i}$$

dove:

- n è il numero di modi di vibrazione considerati
- $\xi$  è il coefficiente di smorzamento viscoso equivalente espresso in percentuale;
- $\beta_{ij}$  è il rapporto tra le frequenze di ciascuna coppia i-j di modi di vibrazione.

Le sollecitazioni derivanti da tali azioni sono state composte poi con quelle derivanti da carichi verticali, orizzontali non sismici secondo le varie combinazioni di carico probabilistiche. Il calcolo è stato effettuato mediante un programma agli elementi finiti le cui caratteristiche verranno descritte nel seguito.

Il calcolo degli effetti dell'azione sismica è stato eseguito con riferimento alla struttura spaziale, tenendo cioè conto degli elementi interagenti fra loro secondo l'affettiva realizzazione escludendo i tamponamenti. Non ci sono approssimazioni su tetti inclinati, piani sfalsati o scale, solette, pareti irrigidenti e nuclei.

Si è tenuto conto delle deformabilità taglianti e flessionali degli elementi monodimensionali; muri, pareti, setti, solette sono stati correttamente schematizzati tramite elementi finiti a tre/quattro nodi con comportamento a guscio (sia a piastra che a lastra).

Sono stati considerati sei gradi di libertà per nodo; in ogni nodo della struttura sono state applicate le forze sismiche derivanti dalle masse circostanti.

Le sollecitazioni derivanti da tali forze sono state poi combinate con quelle derivanti dagli altri carichi come prima specificato.

6.4.2 Passerella calpestabile

Gli effetti del sisma sono stati valutati convenzionalmente mediante analisi statica della struttura

soggetta a:

• un sistema di forze orizzontali parallele alle direzioni ipotizzate per il sisma, distribuite (sia

planimetricamente che altimetricamente) in modo da simulare gli effetti dinamici del sisma.

• un sistema di forze verticali, distribuite sulla struttura proporzionalmente alle masse presenti.

Le sollecitazioni derivanti da tali azioni sono state composte poi con quelle derivanti da carichi

verticali, orizzontali non sismici secondo le varie combinazioni di carico probabilistiche. Il

calcolo è stato effettuato mediante un programma agli elementi finiti le cui caratteristiche

verranno descritte nel seguito.

Il calcolo degli effetti dell'azione sismica è stato eseguito con riferimento alla struttura spaziale,

i tamponamenti. Non ci sono approssimazioni su tetti inclinati, piani sfalsati o scale, solette,

pareti irrigidenti e nuclei. Si è tenuto conto delle deformabilità taglianti e flessionali degli

elementi monodimensionali; muri, pareti, setti, solette sono stati correttamente schematizzati

tramite elementi finiti a tre/quattro nodi con comportamento a guscio (sia a piastra che a lastra).

Sono stati considerati sei gradi di libertà per nodo; in ogni nodo della struttura sono state

applicate le forze sismiche derivanti dalle masse circostanti.

Le sollecitazioni derivanti da tali forze sono state poi combinate con quelle derivanti dagli altri

carichi come prima specificato.

6.5 VALUTAZIONE DEGLI SPOSTAMENTI

Gli spostamenti d<sub>E</sub> della struttura sotto l\( \pi\)azione sismica di progetto allo SLV si ottengono

moltiplicando per il fattore di valori de ottenuti dalla analisi lineare, dinamica o statica, secondo

 $d_E = \pm \mu_d \alpha d_{Ee}$ 

dove

 $\mu_d = q$  se T1 × TC

 $\mu_d = 1 + (q - 1) \, \partial FC/T1$  se T1 < TC

In ogni caso μ<sub>d</sub> m5q ó 4.

Ingegno P & C srl Via Gramsci, 49 6 56024 6 Ponte a Egola (PI) Tel/fax: 0571497075 e-mail:info@ingegno06.it 6.6 COMBINAZIONE DELLE COMPONENTI DELLØAZIONE SISMICA

Il sisma viene convenzionalmente considerato come agente separatamente in due direzioni tra

loro ortogonali prefissate; per tenere conto che nella realtà il moto del terreno durante lœvento

sismico ha direzione casuale e in accordo con le prescrizioni normative, per ottenere læffetto

complessivo del sisma, a partire dagli effetti delle direzioni calcolati separatamente, si è

provveduto a sommare i massimi ottenuti in una direzione con il 30% dei massimi ottenuti per

løazione applicata nelløaltra direzione. L'azione sismica verticale è stata considerata in presenza di

elementi pressoché orizzontali con luce superiore a 20 m, di elementi principali precompressi o di

elementi a mensola.

6.7 ECCENTRICITÀ ACCIDENTALI

Per valutare le eccentricità accidentali, previste in aggiunta alleccentricità effettiva sono state

considerate condizioni di carico aggiuntive ottenute applicando l\( azione \) sismica nelle posizioni

del centro di massa di ogni piano ottenute traslando gli stessi, in ogni direzione considerata, di

una distanza pari a +/- 5% della dimensione massima del piano in direzione perpendicolare

alløazione sismica.

7 AZIONI SULLA STRUTTURA

I calcoli e le verifiche sono condotti con il metodo semiprobabilistico degli stati limite secondo le

indicazioni del D.M. 14 gennaio 2008.

I carichi agenti sui solai, derivanti dall@analisi dei carichi, vengono ripartiti dal programma di

calcolo in modo automatico sulle membrature (travi, pilastri, pareti, solette, platee, ecc.).

I carichi dovuti ai tamponamenti, sia sulle travi di fondazione che su quelle di piano, sono

schematizzati come carichi lineari agenti esclusivamente sulle aste.

Su tutti gli elementi strutturali è inoltre possibile applicare direttamente ulteriori azioni

concentrate e/o distribuite (variabili con legge lineare ed agenti lungo tutta løasta o su tratti

limitati di essa).

Le azioni introdotte direttamente sono combinate con le altre (carichi permanenti, accidentali e

sisma) mediante le combinazioni di carico di seguito descritte; da esse si ottengono i valori

probabilistici da impiegare successivamente nelle verifiche.

Ingegno P & C srl Via Gramsci, 49 6 56024 6 Ponte a Egola (PI) Tel/fax: 0571497075 e-mail:info@ingegno06.it

#### 7.1 STATO LIMITE DI SALVAGUARDIA DELLA VITA

Le azioni sulla costruzione sono state cumulate in modo da determinare condizioni di carico tali da risultare più sfavorevoli ai fini delle singole verifiche, tenendo conto della probabilità ridotta di intervento simultaneo di tutte le azioni con i rispettivi valori più sfavorevoli, come consentito dalle norme vigenti.

Per gli stati limite ultimi sono state adottate le combinazioni del tipo:

$$\gamma_{G1} \cdot G_1 + \gamma_{G2} \cdot G_2 + \gamma_P \cdot P + \gamma_{Q1} \cdot Q_{k1} + \gamma_{Q2} \cdot \psi_{02} \cdot Q_{k2} + \gamma_{Q3} \cdot \psi_{03} \cdot Q_{k3} + \dots$$
(1)

dove:

G<sub>1</sub> rappresenta il peso proprio di tutti gli elementi strutturali; peso proprio del terreno, quando pertinente; forze indotte dal terreno (esclusi gli effetti di carichi variabili applicati al terreno); forze risultanti dalla pressione dell\( \textit{\textit{gacqua}}\) (quando si configurino costanti nel tempo);

G<sub>2</sub> rappresenta il peso proprio di tutti gli elementi non strutturali;

P rappresenta l'azione di pretensione e/o precompressione;

Q azioni sulla struttura o sullœlemento strutturale con valori istantanei che possono risultare sensibilmente diversi fra loro nel tempo:

- di lunga durata: agiscono con unøintensità significativa, anche non continuativamente, per un tempo non trascurabile rispetto alla vita nominale della struttura;
- di breve durata: azioni che agiscono per un periodo di tempo breve rispetto alla vita nominale della struttura;

Qki rappresenta il valore caratteristico della i-esima azione variabile;

 $\gamma_g$ ,  $\gamma_q$ ,  $\gamma_p$  coefficienti parziali come definiti nella tabella 2.6.I del DM 14 gennaio 2008;

 $\psi_{0i}$  sono i coefficienti di combinazione per tenere conto della ridotta probabilità di concomitanza delle azioni variabili con i rispettivi valori caratteristici.

Le 192 combinazioni risultanti sono state costruite a partire dalle sollecitazioni caratteristiche calcolate per ogni condizione di carico elementare: ciascuna condizione di carico accidentale, a rotazione, è stata considerata sollecitazione di base (Q<sub>k1</sub> nella formula precedente).

In zona sismica, oltre alle sollecitazioni derivanti dalle generiche condizioni di carico statiche, devono essere considerate anche le sollecitazioni derivanti dal sisma. L\(\varphi\)azione sismica \(\varphi\) stata combinata con le altre azioni secondo la seguente relazione:

$$G_1 + G_2 + P + E + \sum_i \psi_{2i} \cdot Q_{ki}$$

dove:

E rappresenta l'azione sismica per lo stato limite in esame;

G<sub>1</sub> rappresenta peso proprio di tutti gli elementi strutturali;

G<sub>2</sub> rappresenta il peso proprio di tutti gli elementi non strutturali;

P rappresenta l'azione di pretensione e/o precompressione;

ψ<sub>2i</sub> coefficiente di combinazione delle azioni variabili Q<sub>i</sub>;

Qki valore caratteristico delløazione variabile Qi.

Gli effetti dell\( azione sismica sono valutati tenendo conto delle masse associate ai seguenti carichi gravitazionali:

$$G_K + \sum_i (\psi_{2i} \cdot Q_{ki}).$$

I valori dei coefficienti  $\psi_{2i}$  sono riportati nella seguente tabella:

Categoria/Azione	Ψ2i
Categoria A ó Ambienti ad uso residenziale	0,3
Categoria B ó Uffici	0,3
Categoria C ó Ambienti suscettibili di affollamento	0,6
Categoria D ó Ambienti ad uso commerciale	0,6
Categoria E ó Biblioteche, archivi, magazzini e ambienti ad uso industriale	0,8
Categoria F ó Rimesse e parcheggi (per autoveicoli di peso m30 kN)	0,6
Categoria G ó Rimesse e parcheggi (per autoveicoli di peso > 30 kN)	0,3
Categoria H ó Coperture	0,0
Vento	0,0
Neve (a quota m1000 m s.l.m.)	0,0
Neve (a quota > 1000 m s.l.m.)	0,2
Variazioni termiche	0,0

Le verifiche strutturali e geotecniche, come definite al punto 2.6.1 del D.M. 14 gennaio 2008, sono state effettuate con lø Approccio 2 come definito al citato punto, definito sinteticamente come (A1+M1+R3); le azioni sono state amplificate tramite i coefficienti della colonna A1 definiti nella tabella 6.2.I del D.M. 14 gennaio 2008, i valori di resistenza del terreno sono stati

considerati al loro valore caratteristico (coefficienti M1 della tabella 2.6.II tutti unitari), i valori calcolati delle resistenze totali delle delle resistenze totali delle

Si è quindi provveduto a progettare le armature di ogni elemento strutturale per ciascuno dei valori ottenuti secondo le modalità precedentemente illustrate.

#### 7.2 STATO LIMITE DI DANNO

Løazione sismica, ottenuta dallo spettro di progetto per lo Stato Limite di Danno, è stata combinata con le altre azioni mediante una relazione del tutto analoga alla precedente:

$$G_1 + G_2 + P + E + \sum_{i} \psi_{2i} \cdot Q_{ki}$$

dove:

E rappresenta l'azione sismica per lo stato limite in esame;

G<sub>1</sub> rappresenta peso proprio di tutti gli elementi strutturali;

G<sub>2</sub> rappresenta il peso proprio di tutti gli elementi non strutturali

P rappresenta l'azione di pretensione e/o precompressione;

 $\psi_{2i}$  coefficiente di combinazione delle azioni variabili  $Q_i$ ;

Qki valore caratteristico delleazione variabile Qi.

Gli effetti dell\( \phi\)azione sismica sono valutati tenendo conto delle masse associate ai seguenti carichi gravitazionali:

$$G_K + \sum_i (\psi_{2i} \cdot Q_{ii})$$

I valori dei coefficienti ψ<sub>2i</sub> sono riportati nella tabella di cui allo SLV.

#### 7.3 STATI LIMITE DI ESERCIZIO

Allo Stato Limite di Esercizio le sollecitazioni con cui sono state semiprogettate le aste in c.a. sono state ricavate applicando le formule riportate nel D.M. 14 gennaio 2008 - Norme tecniche per le costruzioni - al punto 2.5.3. Per le verifiche agli stati limite di esercizio, a seconda dei casi, si fa riferimento alle seguenti combinazioni di carico:

$$F_{d} = \sum_{j=1}^{m} (G_{Kj}) + Q_{k1} + \sum_{i=2}^{n} (\psi_{0i} \cdot Q_{ki}) + \sum_{h=1}^{l} (P_{kh})$$

$$F_d = \sum_{j=1}^{m} (G_{Kj}) + \psi_{11} \cdot Q_{k1} + \sum_{i=2}^{n} (\psi_{2i} \cdot Q_{ki}) + \sum_{h=1}^{l} (P_{kh})$$

combinazione quasi permanente

$$F_d = \sum_{j=1}^m (G_{Kj}) + \psi_{21} \cdot Q_{k1} + \sum_{i=2}^n (\psi_{2i} \cdot Q_{ki}) + \sum_{h=1}^l (P_{kh})$$

dove:

G<sub>kj</sub> valore caratteristico della j-esima azione permanente;

Pkh valore caratteristico della h-esima deformazione impressa;

Qkl valore caratteristico delleazione variabile di base di ogni combinazione;

Qki valore caratteristico della i-esima azione variabile;

 $\psi_{0i}$  coefficiente atto a definire i valori delle azioni ammissibili di durata breve ma ancora significativi nei riguardi della possibile concomitanza con altre azioni variabili;

 $\psi_{1i}$  coefficiente atto a definire i valori delle azioni ammissibili ai frattili di ordine 0,95 delle distribuzioni dei valori istantanei;

 $\psi_{2i}$  coefficiente atto a definire i valori quasi permanenti delle azioni ammissibili ai valori medi delle distribuzioni dei valori istantanei.

Ai coefficienti  $\psi_{0i}$ ,  $\psi_{1i}$ ,  $\psi_{2i}$  sono attribuiti i seguenti valori:

Azione	Ψ0i	Ψ1i	Ψ2i
Categoria A ó Ambienti ad uso residenziale	0,7	0,5	0,3
Categoria B ó Uffici	0,7	0,5	0,3
Categoria C ó Ambienti suscettibili di affollamento	0,7	0,7	0,6
Categoria D ó Ambienti ad uso commerciale	0,7	0,7	0,6
Categoria E ó Biblioteche, archivi, magazzini e ambienti ad uso industriale	1,0	0,9	0,8
Categoria F ó Rimesse e parcheggi (per autoveicoli di peso m30 kN)	0,7	0,7	0,6
Categoria G ó Rimesse e parcheggi (per autoveicoli di peso > 30 kN)	0,7	0,5	0,3
Categoria H ó Coperture	0,0	0,0	0,0
Vento	0,6	0,2	0,0
Neve (a quota m1000 m s.l.m.)	0,5	0,2	0,0
Neve (a quota > 1000 m s.l.m.)	0,7	0,5	0,2
Variazioni termiche	0,6	0,5	0,0

In maniera analoga a quanto illustrato nel caso dello SLU le combinazioni risultanti sono state costruite a partire dalle sollecitazioni caratteristiche calcolate per ogni condizione di carico; a turno ogni condizione di carico accidentale è stata considerata sollecitazione di base (Q<sub>k1</sub> nella formula (1)), con ciò dando origine a tanti valori combinati. Per ognuna delle combinazioni ottenute, in funzione dellœlemento (trave, pilastro, etc...) sono state effettuate le verifiche allo SLE (tensioni, deformazioni e fessurazione).

Ingegno P & C srl Via Gramsci, 49 6 56024 6 Ponte a Egola (PI) Tel/fax: 0571497075 e-mail:info@ingegno06.it

#### 8 CODICE DI CALCOLO IMPIEGATO

#### 8.1 DENOMINAZIONE

Nome del Software		EdiLus
Versione		26.00a
Caratteristiche Software	del	Software per il calcolo di strutture agli elementi finiti per Windows
Numero di serie		13041419
Intestatario Licenza		INGEGNO P & C srl
Produzione Distribuzione	e	ACCA software S.p.A.  Via Michelangelo Cianciulli 83048 Montella (AV)  Tel. 0827/69504 r.a Fax 0827/601235 e-mail: info@acca.it - Internet: www.acca.it

#### 8.2 SINTESI DELLE FUNZIONALITÀ GENERALI

Il pacchetto consente di modellare la struttura, di effettuare il dimensionamento e le verifiche di tutti gli elementi strutturali e di generare gli elaborati grafici esecutivi.

È una procedura integrata dotata di tutte le funzionalità necessarie per consentire il calcolo completo di una struttura mediante il metodo degli elementi finiti (FEM); la modellazione della struttura è realizzata tramite elementi Beam (travi e pilastri) e Shell (platee, pareti, solette, setti, travi-parete).

Lønput della struttura avviene per oggetti (travi, pilastri, solai, solette, pareti, etc.) in un ambiente grafico integrato; il modello di calcolo agli elementi finiti, che può essere visualizzato in qualsiasi momento in una apposita finestra, viene generato dinamicamente dal software.

Apposite funzioni consentono la creazione e la manutenzione di archivi Sezioni, Materiali e Carichi; tali archivi sono generali, nel senso che sono creati una tantum e sono pronti per ogni calcolo, potendoli comunque integrare/modificare in ogni momento.

L'utente non può modificare il codice ma soltanto eseguire delle scelte come:

- definire i vincoli di estremità per ciascuna asta (vincoli interni) e gli eventuali vincoli nei nodi (vincoli esterni);
- modificare i parametri necessari alla definizione dell*g*azione sismica;
- definire condizioni di carico;
- definire gli impalcati come rigidi o meno.

Il programma è dotato di un manuale tecnico ed operativo. L'assistenza è effettuata direttamente dalla casa produttrice, mediante linea telefonica o e-mail.

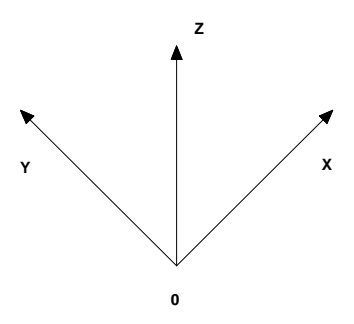
Il calcolo si basa sul solutore agli elementi finiti MICROSAP prodotto dalla società TESYS srl. La scelta di tale codice è motivata dalløelevata affidabilità dimostrata e dalløampia documentazione a disposizione, dalla quale risulta la sostanziale uniformità dei risultati ottenuti su strutture standard con i risultati internazionalmente accettati ed utilizzati come riferimento.

Tutti i risultati del calcolo sono forniti, oltre che in formato numerico, anche in formato grafico permettendo così di evidenziare agevolmente eventuali incongruenze.

Il programma consente la stampa di tutti i dati di input, dei dati del modello strutturale utilizzato, dei risultati del calcolo e delle verifiche dei diagrammi delle sollecitazioni e delle deformate.

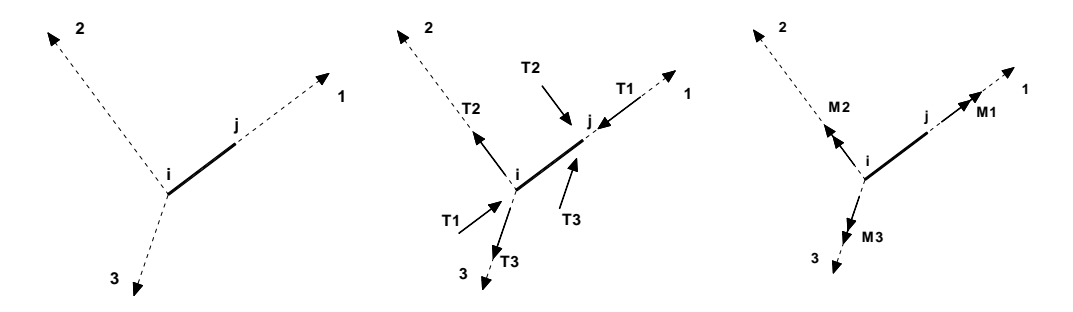
### 8.3 SISTEMI DI RIFERIMENTO

#### 8.3.1 Riferimento globale



Il sistema di riferimento globale, rispetto al quale va riferita l'intera struttura, è costituito da una terna di assi cartesiani sinistrorsa O,X,Y,Z (X,Y, e Z sono disposti e orientati rispettivamente secondo il pollice, l'indice ed il medio della mano destra, una volta posizionati questi ultimi a 90° tra loro).

#### 8.3.2 Riferimento locale per travi



L'elemento Trave è un classico elemento strutturale in grado di ricevere Carichi distribuiti e Carichi Nodali applicati ai due nodi di estremità; per effetto di tali carichi nascono, negli estremi, sollecitazioni di taglio, sforzo normale, momenti flettenti e torcenti.

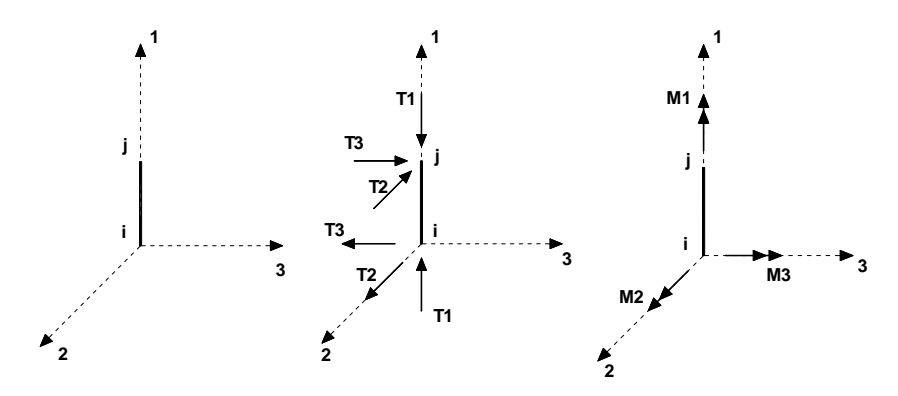
Definiti i e j i nodi iniziale e finale della Trave, viene individuato un sistema di assi cartesiani 1-2-3 locale all'elemento, con origine nel Nodo i così composto:

- asse 1 orientato dal nodo i al nodo j;
- assi 2 e 3 appartenenti alla sezione dell'elemento e coincidenti con gli assi principali della sezione stessa.

Le sollecitazioni verranno fornite in riferimento a tale sistema di riferimento:

- Sollecitazione di Trazione o Compressione T1 (agente nella direzione i-j);
- Sollecitazioni taglianti T2 e T3, agenti nei due piani 1-2 e 1-3, rispettivamente secondo l'asse 2 e l'asse 3;
- Sollecitazioni che inducono flessione nei piani 1-3 e 1-2 (M2 e M3);
- Sollecitazione torcente M1.

### 8.3.3 Riferimento locale per pilastri



Definiti i e j come i due nodi iniziale e finale del pilastro, viene individuato un sistema di assi cartesiani 1-2-3 locale all'elemento, con origine nel Nodo i così composto:

- asse 1 orientato dal nodo i al nodo j;
- asse 2 perpendicolare all' asse 1, parallelo e discorde all'asse globale Y;
- asse 3 che completa la terna destrorsa, parallelo e concorde all'asse globale X.

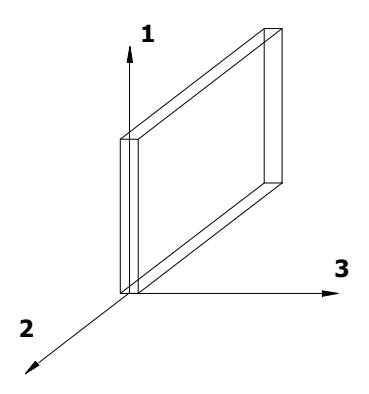
Tale sistema di riferimento è valido per Pilastri con angolo di rotazione pari a '0' gradi; una rotazione del pilastro nel piano XY ha l'effetto di ruotare anche tale sistema (ad es. una rotazione di '90' gradi porterebbe l'asse 2 a essere parallelo e concorde alløasse X, mentre l'asse 3 sarebbe

parallelo e concorde all'asse globale Y). La rotazione non ha alcun effetto sull'asse 1 che coinciderà sempre e comunque con l'asse globale Z.

Per quanto riguarda le sollecitazioni si ha:

- una forza di trazione o compressione T1, agente lungo l\u00e9asse locale 1;
- due forze taglianti T2 e T3 agenti lungo i due assi locali 2 e 3;
- due vettori momento (flettente) M2 e M3 agenti lungo i due assi locali 2 e 3;
- un vettore momento (torcente) M1 agente lungo l\( \phi \) asse locale nel piano 1.

#### 8.3.4 Riferimento locale per pareti



Una parete è costituita da una sequenza di setti; ciascun setto è caratterizzato da un sistema di riferimento locale 1-2-3 così individuato:

- asse 1, coincidente con l\( \precase \) globale Z;
- asse 2, parallelo e discorde alla linea d\( \varphi\) asse della traccia del setto in pianta;
- asse 3, ortogonale al piano della parete, che completa la terna levogira.

Su ciascun setto løutente ha la possibilità di applicare uno o più carichi uniformemente distribuiti comunque orientati nello spazio; le componenti di tali carichi possono essere fornite, a discrezione delløutente, rispetto al riferimento globale X,Y,Z oppure rispetto al riferimento locale 1,2,3 appena definito.

Si rende necessario, a questo punto, meglio precisare le modalità con cui EdiLus restituisce i risultati di calcolo.

Nel modello di calcolo agli elementi finiti ciascun setto è discretizzato in una serie di elementi tipo öshellö interconnessi; il solutore agli elementi finiti integrato nel programma EdiLus, definisce un riferimento locale per ciascun elemento shell e restituisce i valori delle tensioni esclusivamente rispetto a tali riferimenti.

Il software EdiLus provvede ad omogeneizzare tutti i valori riferendoli alla terna 1-2-3. Tale operazione consente, in fase di input, di ridurre al mimino gli errori dovuti alla complessità deimmissione dei dati stessi ed allo stesso tempo di restituire alleutente dei risultati facilmente interpretabili.

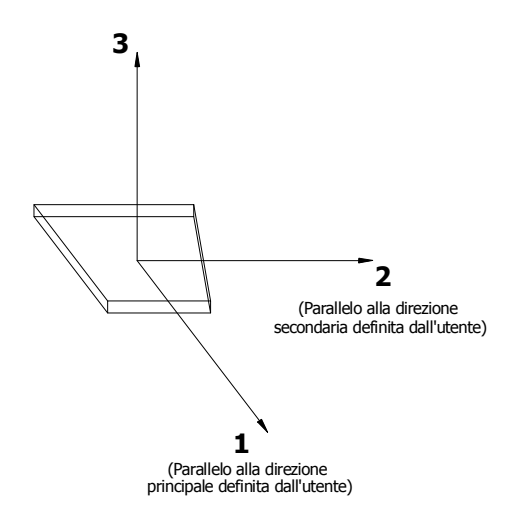
Tutti i dati cioè, sia in fase di input che in fase di output, sono organizzati secondo un criterio razionale vicino al modo di operare del tecnico e svincolato dal procedimento seguito dallœlaboratore elettronico.

In tal modo ad esempio, il significato dei valori delle tensioni può essere compreso con immediatezza non solo dal progettista che ha operato con il programma ma anche da un tecnico terzo non coinvolto nellœlaborazione; entrambi, così, potranno controllare con facilità dal tabulato di calcolo, la congruità dei valori riportati.

Un'ultima notazione deve essere riservata alla modalità con cui il programma fornisce le armature delle pareti, con riferimento alla faccia anteriore e posteriore.

La faccia anteriore è quella di normale uscente concorde all'asse 3 come prima definito o, identicamente, quella posta alla destra dell'osservatore che percorresse il bordo superiore della parete concordemente al verso di tracciamento.

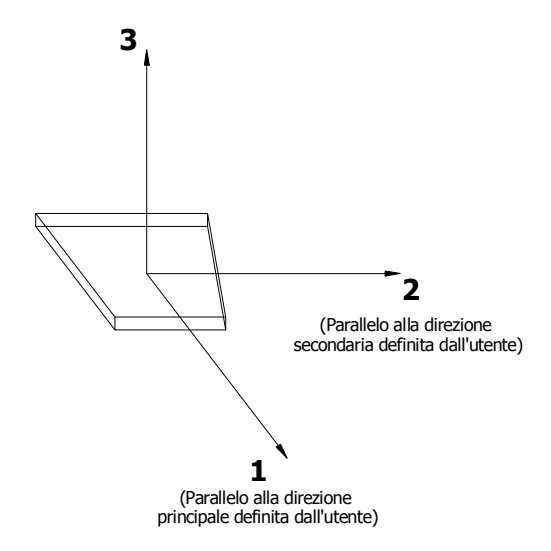
## 8.3.5 Riferimento locale per solette



In maniera analoga a quanto avviene per i setti, ciascuna soletta è caratterizzata da un sistema di riferimento locale 1,2,3 così definito:

- asse 1, coincidente con la direzione principale di armatura;
- asse 2, coincidente con la direzione secondaria di armatura;
- asse 3, ortogonale al piano della parete, che completa la terna levogira.

## 8.3.6 Riferimento locale per platee



Anche per le platee, analogamente a quanto descritto per le solette, è definito un sistema di riferimento locale 1,2,3:

- asse 1, coincidente con la direzione principale di armatura;
- asse 2, coincidente con la direzione secondaria di armatura;
- asse 3, ortogonale al piano della parete, che completa la terna levogira.

### 8.4 MODELLO DI CALCOLO

Il modello della struttura viene creato automaticamente dal codice di calcolo, individuando i vari elementi strutturali e fornendo le loro caratteristiche geometriche e meccaniche.

Viene definita unøpportuna numerazione degli elementi (nodi, aste, shell) costituenti il modello, al fine di individuare celermente ed univocamente ciascun elemento.

Qui di seguito è fornita una rappresentazione grafica dettagliata della discretizzazione operata con evidenziazione dei nodi e degli elementi, relativi ai singoli manufatti:

# ✓ Platea di fondazione delløimpianto e tettoia di copertura in legno

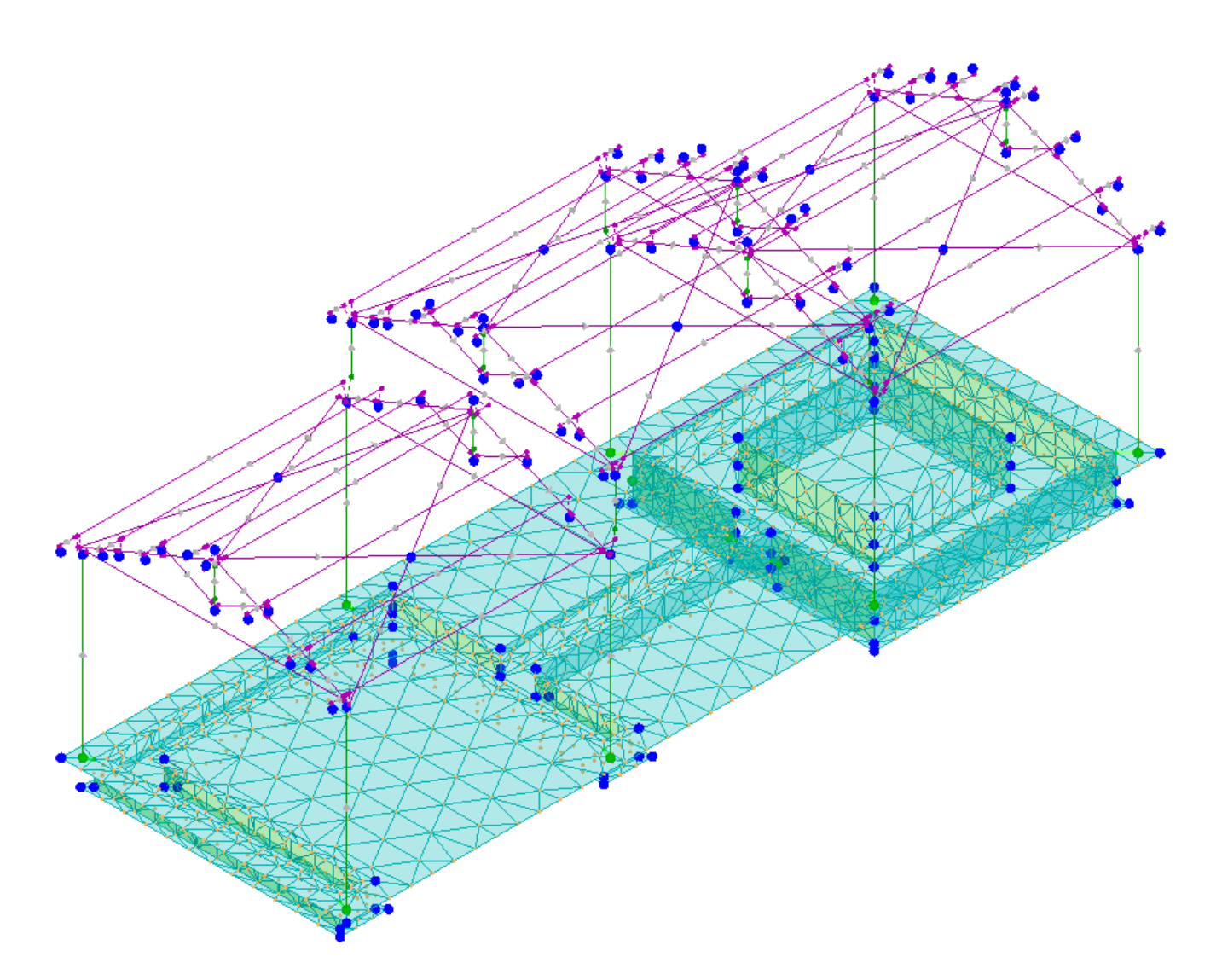


Figura 7. Rappresentazione del modello della platea e della copertura lignea - Vista anteriore

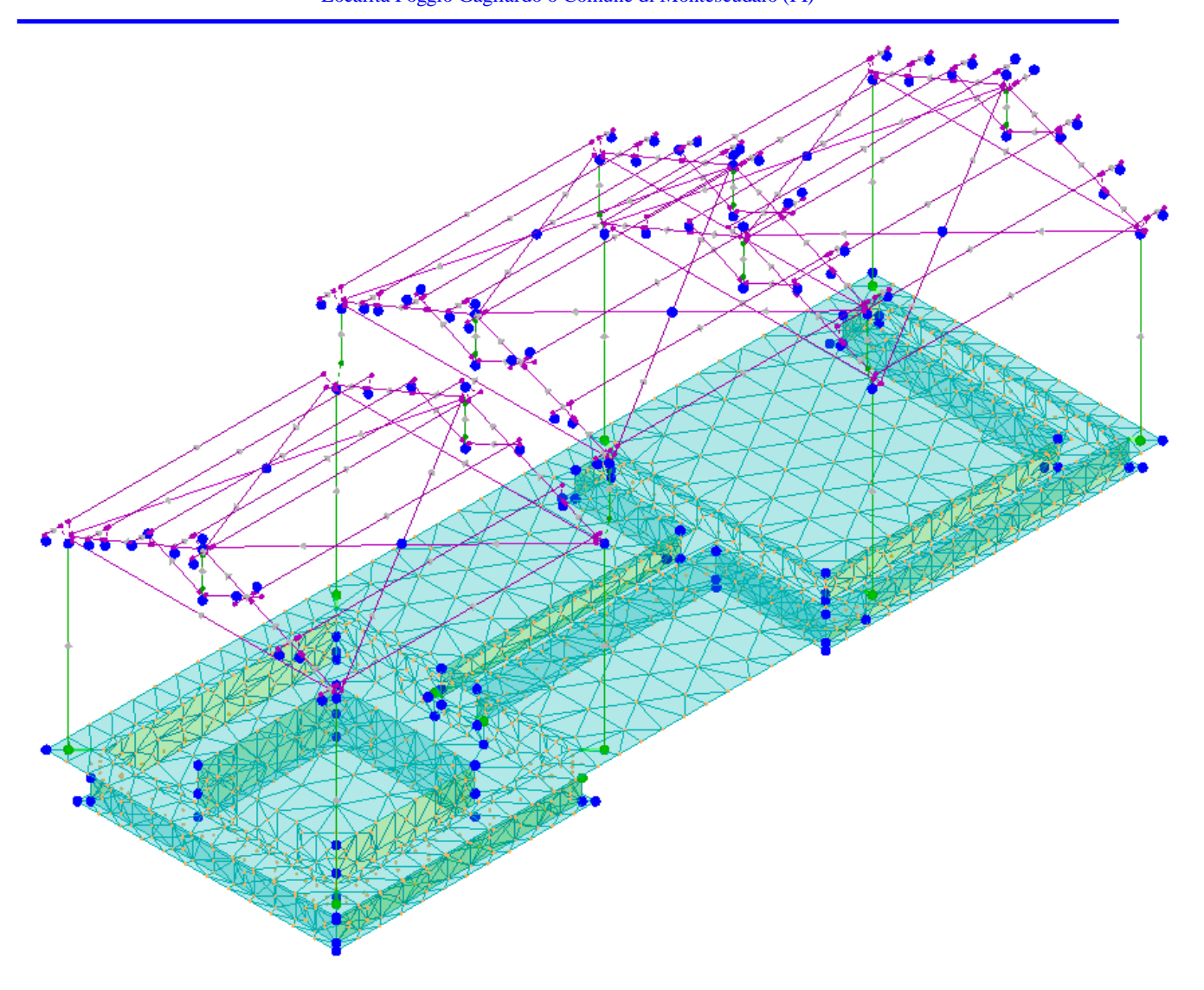


Figura 8. Rappresentazione del modello della platea e della copertura lignea ó Vista posteriore

# ✓ Passerella calpestabile

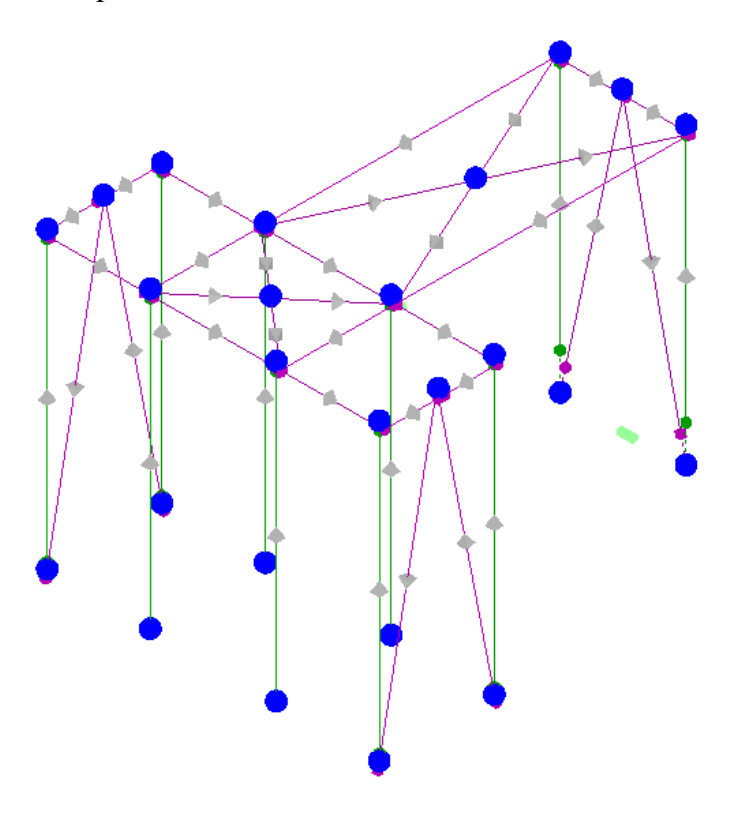


Figura 9. Rappresentazione del modello della passerellaó Vista anteriore

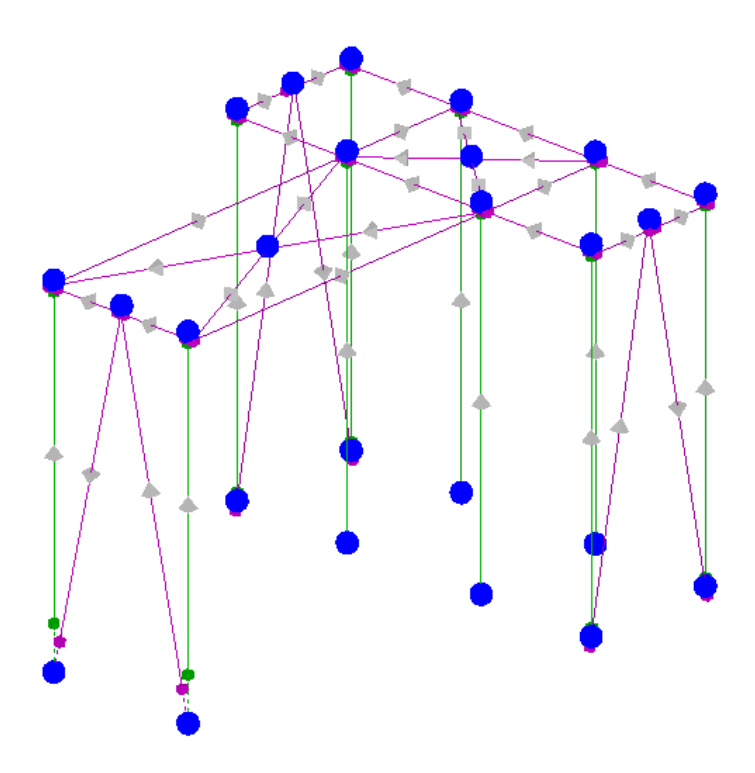


Figura 10. Rappresentazione del modello della passerella ó Vista posteriore

# ✓ Separatore di condensa e filtri a carboni attivi

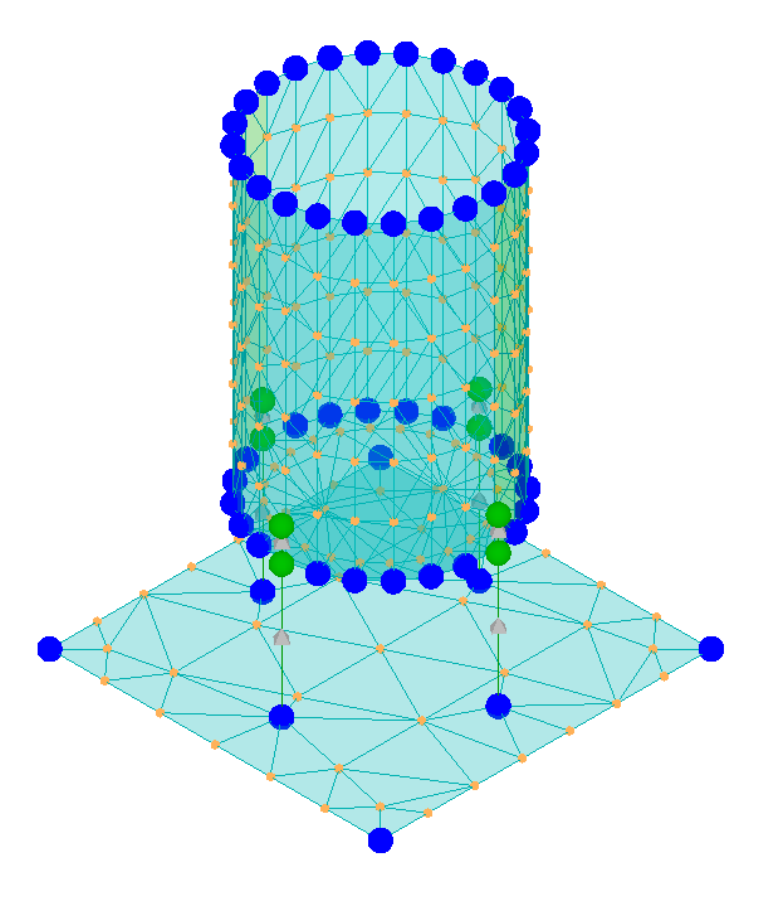


Figura 11. Rappresentazione del modello del separatore di condense e filtro a carboni attivi

Dalle illustrazioni precedenti si evince come le aste, sia travi che pilastri, siano schematizzate con un tratto flessibile centrale e da due tratti (braccetti) rigidi alle estremità. I nodi vengono posizionati sulløasse verticale dei pilastri, in corrispondenza delløestradosso della trave più alta che in esso si collega. Tramite i braccetti i tratti flessibili sono quindi collegati ad esso.

In questa maniera il nodo risulta perfettamente aderente alla realtà poiché vengono presi in conto tutti gli eventuali disassamenti degli elementi con gli effetti che si possono determinare, quali momenti flettenti/torcenti aggiuntivi.

Le sollecitazioni vengono determinate, como corretto, solo per il tratto flessibile. Sui tratti rigidi, infatti, essendo (teoricamente) nulle le deformazioni le sollecitazioni risultano indeterminate.

Questa schematizzazione dei nodi viene automaticamente realizzata dal programma anche quando il nodo sia determinato dallaincontro di più travi senza il pilastro, o alla attacco di travi/pilastri con elementi shell.

#### 8.5 PROGETTO E VERIFICA DEGLI ELEMENTI STRUTTURALI

La verifica degli elementi allo SLU avviene col seguente procedimento:

- si costruiscono le combinazioni non sismiche in base al D.M. 14.01.2008, ottenendo un insieme di sollecitazioni;
- si combinano tali sollecitazioni con quelle dovute all'azione del sisma secondo quanto indicato nel § 2.5.3, relazione (2.5.5) del D.M. 14/01/2008.
- per sollecitazioni semplici (flessione retta, taglio, etc.) si individuano i valori minimo e massimo con cui progettare o verificare lœlemento considerato; per sollecitazioni composte (pressoflessione retta/deviata) vengono eseguite le verifiche per tutte le possibili combinazioni e solo a seguito di ciò si individua quella che ha originato il minimo coefficiente di sicurezza.

#### 8.6 VERIFICHE DI RESISTENZA

Per quanto concerne il progetto degli elementi in c.a. illustriamo, in dettaglio, il procedimento seguito quando si è in presenza di pressoflessione deviata (pilastri e trave di sezione generica):

• per tutte le terne Mx, My, N, individuate secondo la modalità precedentemente illustrata, si calcola il coefficiente di sicurezza in base alla formula 4.1.10 del D.M. 14 gennaio 2008, effettuando due verifiche a pressoflessione retta con la seguente formula:

dove:

 $M_{Ex}$ ,  $M_{Ey}$  sono i valori di calcolo delle due componenti di flessione retta dell'azione attorno agli assi di flessione X ed Y del sistema di riferimento locale;  $M_{Rx}$ ,  $M_{Ry}$  sono i valori di calcolo dei momenti resistenti di pressoflessione retta corrispondenti allo sforzo assiale  $N_{Ed}$  valutati separatamente attorno agli assi di flessione.

Løsponente  $\alpha$  può dedursi in funzione della geometria della sezione, della percentuale meccanica delløarmatura e della sollecitazione di sforzo normale agente.

• se per almeno una di queste terne la relazione 4.1.10 non è rispettata, si incrementa

løarmatura variando il diametro delle barre utilizzate e/o il numero delle stesse in maniera iterativa fino a quando la suddetta relazione è rispettata per tutte le terne considerate.

Sempre quanto concerne il progetto degli elementi in c.a. illustriamo in dettaglio il procedimento seguito per le travi verificate/semiprogettate a pressoflessione retta:

- per tutte le coppie Mx, N, individuate secondo la modalità precedentemente illustrata, si calcola il coefficiente di sicurezza in base all'armatura adottata;
- se per almeno una di queste coppie esso è inferiore all'unità, si incrementa l\( \text{garmatura} \) variando il diametro delle barre utilizzate e/o il numero delle stesse in maniera iterativa fino a quando il coefficiente di sicurezza risulta maggiore o al più uguale all\( \text{gunità} \) per tutte le coppie considerate.

Una volta semiprogettate le armature allo SLU, si procede alla verifica delle sezioni allo Stato Limite di Esercizio con le sollecitazioni derivanti dalle combinazioni rare, frequenti e quasi permanenti; se necessario, le armature vengono integrate per far rientrare le tensioni entro i massimi valori previsti.

Successivamente si procede alle verifiche alla deformazione, quando richiesto, ed alla fessurazione che, come è noto, sono tese ad assicurare la durabilità delløpera nel tempo.

Per quanto concerne la verifica degli elementi strutturali in legno, le verifiche effettuate per ogni elemento dipendono dalla funzione dell'elemento nella struttura. Ad esempio, elementi con prevalente comportamento assiale (controventi o appartenenti a travature reticolari) sono verificate a trazione e/o compressione; elementi con funzioni portanti nei confronti dei carichi verticali sono verificati a Pressoflessione retta e Taglio; elementi con funzioni resistenti nei confronti di azioni orizzontali sono verificati a pressoflessione/tensoflessione deviata e taglio oppure a sforzo normale se hanno la funzione di controventi.

Le verifiche allo SLU sono effettuate sempre controllando il soddisfacimento della relazione:

$$R_d \ge S_d$$

dove R<sub>d</sub> è la resistenza calcolata come indicato dalla (4.4.1), ossia:

$$R_d = \frac{k_{mod} \cdot R_k}{\gamma_M}$$

dove:

R<sub>k</sub> è il valore caratteristico della resistenza del materiale. Per sezioni in legno massiccio o lamellare incollato sottoposti a flessione o a trazione parallela alla fibratura che presentino rispettivamente una altezza o il lato maggiore della sezione trasversale inferiore a 150 mm per il legno massiccio e 600 mm per il legno lamellare incollato, i valori caratteristici

della resistenza vengono incrementati tramite il coefficiente moltiplicativo  $k_h$ , di cui al  $\S$  11.7.1.1.

 $\gamma_M$  è il coefficiente parziale di sicurezza relativo al materiale, i cui valori sono riportati nella Tab. 4.4.III;

 $k_{mod}$  è un coefficiente correttivo che tiene conto dell'æffetto, sui parametri di resistenza, sia della durata del carico sia dell'aumidità della struttura. I valori di  $k_{mod}$  sono forniti nella Tab. 4.4.IV.

Le tensioni interne sono calcolate nell'apotesi di conservazione delle sezioni piane e di una relazione lineare tra tensioni e deformazioni fino alla rottura.

Le verifiche di resistenza degli elementi strutturali in legno sono riferite alla direzione della fibratura coincidente sostanzialmente con il proprio asse longitudinale e sezione trasversale costante.

Le verifiche effettuate sono quelle previste al punto 4.4.8.1 ed in particolare:

- Verifiche di Trazione parallela alla fibratura;
- Verifiche di Compressione parallela alla fibratura;
- Verifiche di Pressoflessione/Tensoflessione;
- Verifiche di Taglio;
- Verifiche di Taglio e Torsione.

Nei tabulati, per ogni tipo di verifica e per ogni elemento interessato dalla verifica, sono riportati i valori delle resistenze e delle sollecitazioni che hanno dato il minimo coefficiente di sicurezza, calcolato generalmente come:

$$C_S = R_d/S_d$$
.

Per quanto concerne la verifica degli elementi in acciaio, le verifiche effettuate per ogni elemento dipendono dalla funzione dell'elemento nella struttura. Ad esempio, elementi con prevalente comportamento assiale (controventi o appartenenti a travature reticolari) sono verificate a trazione e/o compressione; elementi con funzioni portanti nei confronti dei carichi verticali sono verificati a Pressoflessione retta e Taglio; elementi con funzioni resistenti nei confronti di azioni orizzontali sono verificati a pressoflessione deviata e taglio oppure a sforzo normale se hanno la funzione di controventi.

Le verifiche allo SLU sono effettuate sempre controllando il soddisfacimento della relazione:

$$R_d \ge S_d$$

dove  $R_d$  è la resistenza calcolata come rapporto tra  $R_k$  (resistenza caratteristica del materiale) e  $\gamma$ , coefficiente di sicurezza, mentre  $S_d$  è la generica sollecitazione di progetto calcolata considerando tutte le Combinazioni di Carico per lo Stato Limite esaminato.

La resistenza viene determinata, in funzione della Classe di appartenenza della Sezione metallica, col metodo Elastico o Plastico (vedi par. 4.2.3.2 del D.M. 14 gennaio 2008).

Viene portato in conto l'indebolimento causato dall'eventuale presenza di fori.

Le verifiche effettuate sono quelle previste al punto 4.2.4.1.2 ed in particolare:

- Verifiche di Trazione
- Verifiche di Compressione
- Verifiche di Flessione Monoassiale
- Verifiche di Taglio (considerando l'influenza della Torsione) assiale e biassiale.
- Verifiche per contemporanea presenza di Flessione e Taglio
- Verifiche per PressoFlessione retta e biassiale

Nei tabulati, per ogni tipo di Verifica e per ogni elemento interessato dalla Verifica, sono riportati i valori delle resistenze e delle sollecitazioni che hanno dato il minimo coefficiente di sicurezza, calcolato generalmente come:

$$C_S = R_d/S_d$$
.

#### 8.7 GERARCHIA DELLE RESISTENZE

Relativamente agli elementi in c.a., sono state applicate le disposizioni contenute al § 7.4.4 del D.M. 14/01/2008. Più in particolare:

- per le **travi**, al fine di escludere la formazione di meccanismi inelastici dovuti al *taglio*, le sollecitazioni di calcolo si ottengono sommando il contributo dovuto ai carichi gravitazionali agenti sulla trave, considerata incernierata agli estremi, alle sollecitazioni di taglio corrispondenti alla formazione delle cerniere plastiche nella trave e prodotte dai momenti resistenti delle due sezioni di di estremità, amplificati del fattore di sovraresistenza γ<sub>Rd</sub> assunto pari, rispettivamente, ad 1,20 per strutture in CDöAö, ad 1,00 per strutture in CDöBö. La verifica di resistenza è eseguita secondo le indicazioni del § 7.4.4.1.2.2.
- per i pilastri, al fine di scongiurare l\(\phi\)attivazione di meccanismi fragili globali, come il
  meccanismo di \(\tilde{\text{opiano}}\) debole\(\tilde{\text{o}}\) che comporta la plasticizzazione, anticipata rispetto alle
  travi, di gran parte dei pilastri di un piano, il progetto a flessione delle zone dissipative dei

Ingegno P & C srl Via Gramsci, 49 6 56024 6 Ponte a Egola (PI) Tel/fax: 0571497075 e-mail:info@ingegno06.it pilastri è effettuato considerando le sollecitazioni corrispondenti alla resistenza delle zone dissipative delle travi amplificata mediante il coefficiente  $\gamma_{Rd}$  che vale 1,3 in CD õAö e 1,1 per CD õBö. In tali casi, generalmente, il meccanismo dissipativo prevede la localizzazione delle cerniere alle estremità delle travi e le sollecitazioni di progetto dei pilastri possono essere ottenute a partire dalle resistenze destremità delle travi che su di essi convergono, facendo in modo che, per ogni nodo trave-pilastro ed ogni direzione e verso delleazione sismica, la resistenza complessiva dei pilastri sia maggiore della resistenza complessiva delle travi amplificata del coefficiente  $\gamma_{Rd}$ , in accordo con la formula (7.4.4) delle NTC. Le verifiche di resistenza sono eseguite secondo le indicazioni del § 7.4.4.2.2.1.

Al fine di escludere la formazione di meccanismi inelastici dovuti al *taglio*, le sollecitazioni di calcolo da utilizzare per le verifiche ed il dimensionamento delle armature si ottengono dalla condizione di equilibrio del pilastro soggetto all\( \text{azione}\) dei momenti resistenti nelle sezioni di estremit\( \text{à}\) superiore ed inferiore secondo l\( \text{\end{e}}\) spressione (7.4.5). Le verifiche di resistenza sono eseguite secondo le indicazioni del \( \xi \) 7.4.4.2.2.2.

- per i **nodi trave-pilastro**, si deve verificare che la resistenza del nodo sia tale da assicurare che non pervenga a rottura prima delle zone della trave e del pilastro ad esso adiacente. L\(\phi\)azione di taglio, agente in direzione orizzontale per le varie direzioni del sisma, nel nucleo di calcestruzzo del nodo \(\phi\) calcolata secondo l\(\phi\)espressione (7.4.6) per i nodi interni e (7.4.7) per quelli esterni. Le verifiche di resistenza sono eseguite invece secondo le indicazioni del \(\frac{1}{2}\) 7.4.4.3.1.
- per i **setti** sismo resistenti, le sollecitazioni di calcolo sono determinate secondo quanto indicato nel § 7.4.4.5.1. Le verifiche di resistenza sono eseguite invece secondo le indicazioni del § 7.4.4.5.2.

Per quanto riguarda la struttura di fondazione sono applicate le disposizioni contenute al § 7.2.5 del D.M. 14/01/2008. Più in particolare:

- per le strutture progettate sia in CDõAö che in CDõBö il dimensionamento della struttura di fondazione e la verifica di sicurezza del complesso fondazione-terreno sono eseguite assumendo come azioni in fondazione le resistenze degli elementi strutturali soprastanti.
   Più precisamente, la forza assiale negli elementi strutturali verticali derivante dalla

combinazione delle azioni di cui al  $\S$  3.2.4 è associata al concomitante valore del momento flettente e del taglio ottenuto amplificando le azioni trasferite dagli elementi soprastanti con un  $\gamma_{Rd}$  pari a 1,1 in CDõBö e 1,3 in CDõAö.

I risultati delle suddette verifiche sono riportate nei tabulati di calcolo.

Per quanto riguarda le aste in acciaio, sono state applicate le disposizioni contenute al par. 7.5.3 del D.M. 14/01/2008. Più in particolare:

- per gli elementi travi e pilastri sono state effettuate le verifiche definite al par. 7.5.4 e relativi sotto paragrafi;
- per gli elementi di controventamento sono state effettuate le verifiche definite al punto 7.5.5; più specificatamente, per gli elementi dissipativi (aste tese di controventi a X o aste di controventi a V) sono state effettuate le relative verifiche di resistenza; per gli elementi in acciaio (travi o colonne) ad essi collegati le sollecitazioni di progetto sono state ricavate considerando come agenti le resistenze degli elementi dissipativi, opportunamente amplificate dal minimo coefficiente Ω tra tutti gli elementi dissipativi collegati alla trave o colonna.

Le relative verifiche sono riportate nei tabulati, con l'indicazione del coefficiente  $\Omega$  utilizzato per la singola verifica.

## 8.8 VERIFICHE DI INSTABILITÀ (ASTE IN ACCIAIO)

Per tutti gli elementi strutturali sono state condotte verifiche di stabilità delle membrature secondo le indicazioni del par. 4.2.4.1.3 del D.M. 14 gennaio 2008; in particolare sono state effettuate le seguenti verifiche:

- Verifiche di stabilità per compressione semplice, con controllo della snellezza.
- Verifiche di stabilità per elementi inflessi.
- Verifiche di stabilità per elementi inflessi e compressi.

Le verifiche sono effettuate considerando la possibilità di instabilizzazione flessotorsionale.

Nei tabulati, per ogni tipo di verifica e per ogni elemento strutturale, sono riportati i risultati di tali verifiche.

8.9 VERIFICHE DI INSTABILITÀ (ASTE IN LEGNO)

Per tutti gli elementi strutturali sono state condotte verifiche delle membrature nei confronti di possibili fenomeni di instabilità, quali lo sbandamento laterale degli elementi compressi o pressoinflessi secondo le indicazioni del par. 4.4.8.2 del D.M. 14 gennaio 2008; in particolare sono state effettuate le seguenti verifiche:

• Verifiche di stabilità per elementi compressi;

• Verifiche di stabilità per elementi inflessi e compressi (secondo il § 6.5.2.3 della CNR-DT

206/2007).

Si precisa che nel caso della verifica di stabilità per elementi inflessi e compressi, sia per i pilastri che per le travi, sono considerati gli effetti di svergolamento per entrambi i piani di flessione.

Nei tabulati, per ogni tipo di verifica e per ogni elemento strutturale, sono riportati i risultati di tali verifiche.

8.10 VERIFICHE DI DEFORMABILITÀ (ASTE IN ACCIAIO)

Sono state condotte le verifiche definite al par. 4.2.4.2 del D.M. 14 Gennaio 2008 e in particolare si citano:

• Verifiche agli spostamenti verticali per i singoli elementi (par. 4.2.4.2.1).

• Verifiche agli spostamenti laterali per i singoli elementi (par. 4.2.4.2.2).

• Verifiche agli spostamenti per il piano e per l'edificio (par. 4.2.4.2.2).

I relativi risultati sono riportati nei tabulati.

8.11 VERIFICHE DI DEFORMABILITÀ (ASTE IN LEGNO)

Le deformazioni di una struttura, dovute agli effetti delle azioni applicate, degli stati di coazione, delle variazioni di umidità e degli scorrimenti nelle unioni, devono essere contenute entro limiti accettabili, sia in relazione ai danni che possono essere indotti ai materiali di rivestimento, ai pavimenti, alle tramezzature e, più in generale, alle finiture, sia in relazione ai requisiti estetici ed alla funzionalità delloppera.

Considerando il particolare comportamento reologico del legno e dei materiali derivati dal legno, si devono valutare sia la deformazione istantanea sia la deformazione a lungo termine.

La deformazione istantanea si calcola usando i valori medi dei moduli elastici per le membrature.

La deformazione a lungo termine può essere calcolata utilizzando i valori medi dei moduli elastici ridotti opportunamente mediante il fattore  $1/(1+k_{def})$ , per le membrature. Il coefficiente  $k_{def}$  tiene conto dell'aumento di deformabilità con il tempo causato dall'æffetto combinato della viscosità e dell'aumidità del materiale. I valori di  $k_{def}$  sono riportati nella Tab. 4.4.V.

Per la verifica di deformabilità, occorre determinare preventivamente la deformazione iniziale e la deformazione finale.

Per il calcolo della deformazione iniziale  $(u_{in})$  occorre valutare la deformazione istantanea con riferimento alla combinazione di carico rara. Per il calcolo della deformazione finale  $(u_{fin})$  occorre valutare la deformazione a lungo termine per la combinazione di carico quasi permanente e sommare a quest $\alpha$ ultima la deformazione istantanea dovuta alla sola aliquota mancante, nella combinazione quasi permanente, del carico accidentale prevalente (da intendersi come il carico variabile di base della combinazione rara).

In via semplificata la deformazione finale ufin, relativa ad una certa condizione di carico, si valuta come segue:

$$u_{fin} = u_{in} + u_{dif}$$

dove:

u<sub>in</sub> è la deformazione iniziale (istantanea), calcolata con riferimento alla combinazione di carico rara;

u<sub>dif</sub> è la deformazione differita che può essere valutata attraverso la relazione:

$$u_{dif} = u \not q_n d k_{def}$$

nella quale:

uøn è la deformazione iniziale (istantanea), calcolata con riferimento alla combinazione di carico quasi permanente;

k<sub>def</sub> è il coefficiente riportato nella Tab. 4.4.V.

La verifica di deformabilità per gli elementi inflessi è eseguita come indicato nel § 6.4.3 della CNR-DT 206/2007.

I relativi risultati sono riportati nei tabulati.

#### 9 PROGETTO E VERIFICA DEI COLLEGAMENTI

Sono state verificate le seguenti tipologie di collegamenti in acciaio:

- Ripristino
- Ripristino flangiato
- Trave-Colonna flangiato
- Trave-Colonna squadretta
- Colonna-Trave flangiato
- Colonna-Trave squadretta
- Colonna-Fondazione
- Asta con elemento in c.a.
- Asta principale-Asta secondaria
- Asta reticolare

Per ogni collegamento sono state ricavate le massime sollecitazioni agenti sugli elementi componenti (Bulloni, Tirafondi, Piastre, Costole e Cordoni di Saldatura) considerando appropriati modelli di calcolo e quindi sono state effettuate le relative verifiche. In particolare:

- Per i bulloni sono state effettuate verifiche a Taglio e Trazione sia per la singola sollecitazione che per presenza contemporanea di tali sollecitazioni.
- Per le piastre sono state effettuate verifiche a Rifollamento, a Flessione con la presenza eventuale di costole, a Punzonamento e alle Tensioni nel piano della piastra.
- Per le costole è stata effettuata la verifica controllando la tensione ideale massima calcolata considerando le tensioni parallele e ortogonali al piano della costola.
- Per i cordoni di saldatura è stata effettuata la verifica controllando la tensione ideale massima calcolata considerando le tensioni tangenziali parallele e ortogonali alla lunghezza del cordone e la tensioni normali ortogonale alla lunghezza.
- Per i tirafondi sono state effettuate verifiche a sfilamento per trazione

Nei tabulati, per ogni collegamento presente nella struttura, sono riportate le indicazioni geometriche e le relative verifiche.

#### 9.1 VERIFICHE DELLE UNIONI LEGNO-LEGNO E DEGLI APPOGGI

Le unioni legno-legno sono rappresentate da intagli opportunamente sagomati per consentire la realizzazione, ad esempio di travature reticolari e simili. Un'asta può pertanto presentare alle estremità diverse facce variamente orientate, per le quali vengono effettuate verifiche a compressione generalmente inclinata rispetto alle fibre, previa ripartizione della componente di sforzo normale tra le facce stesse.

In maniera analoga si procede per gli elementi appoggiati, per i quali si valuta la resistenza a compressione inclinata rispetto alle fibre.

#### 10 RISULTATI DELLE SOLLECITAZIONI SULLE STRUTTURE

Si riportano di seguito i risultati grafici relativi allo stato tensivo dei manufatti, generati dalle sollecitazioni e dai carichi applicati alle strutture oggetto della presente relazione tecnica.

## 10.1.1 Platea di fondazione dell*ø*impianto

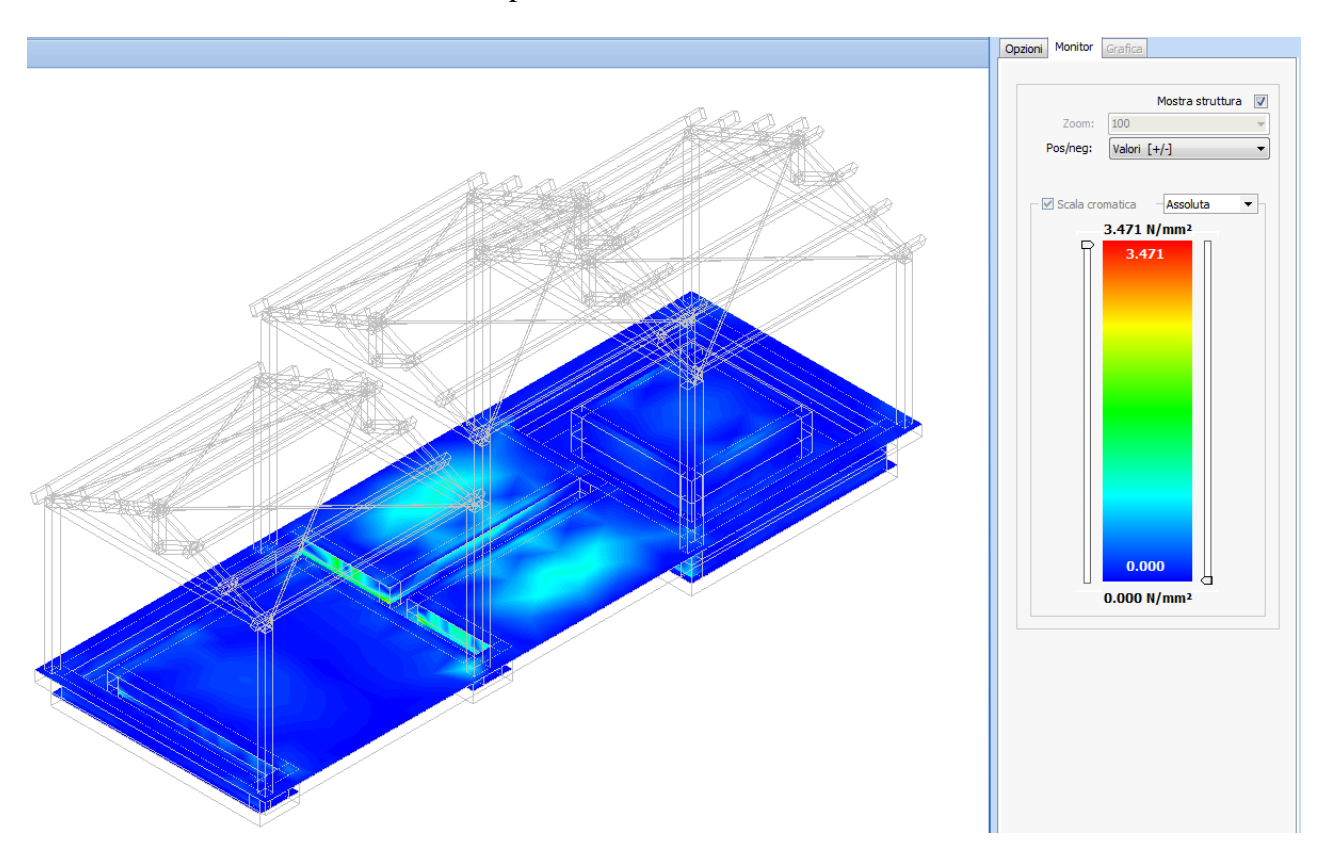


Figura 12. Stato tensivo platea di fondazione direzione 1

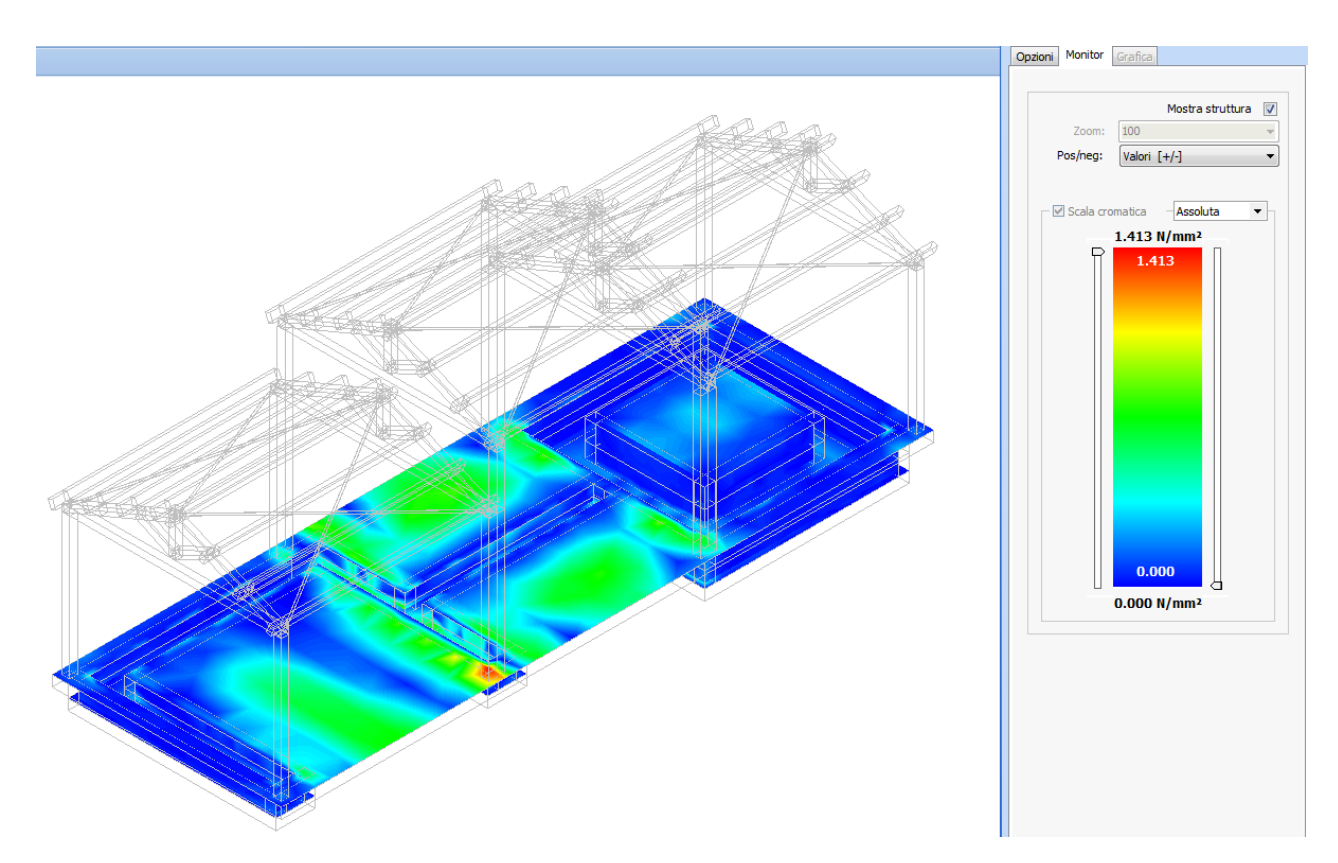


Figura 13. Stato tensivo platea di fondazione direzione 2

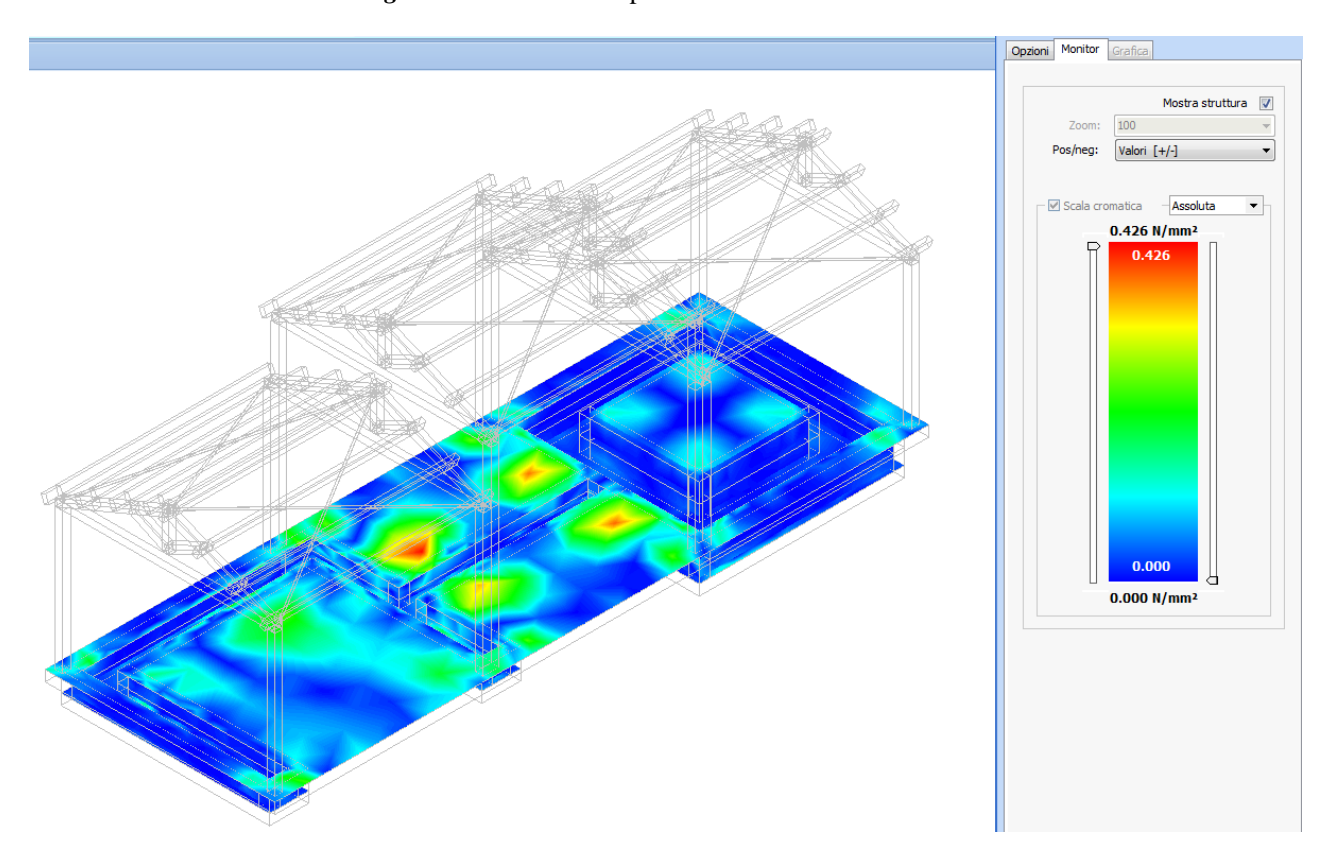


Figura 14. Stato tensivo platea di fondazione direzione 1-2

# 10.1.2 Tettoia di copertura in legno

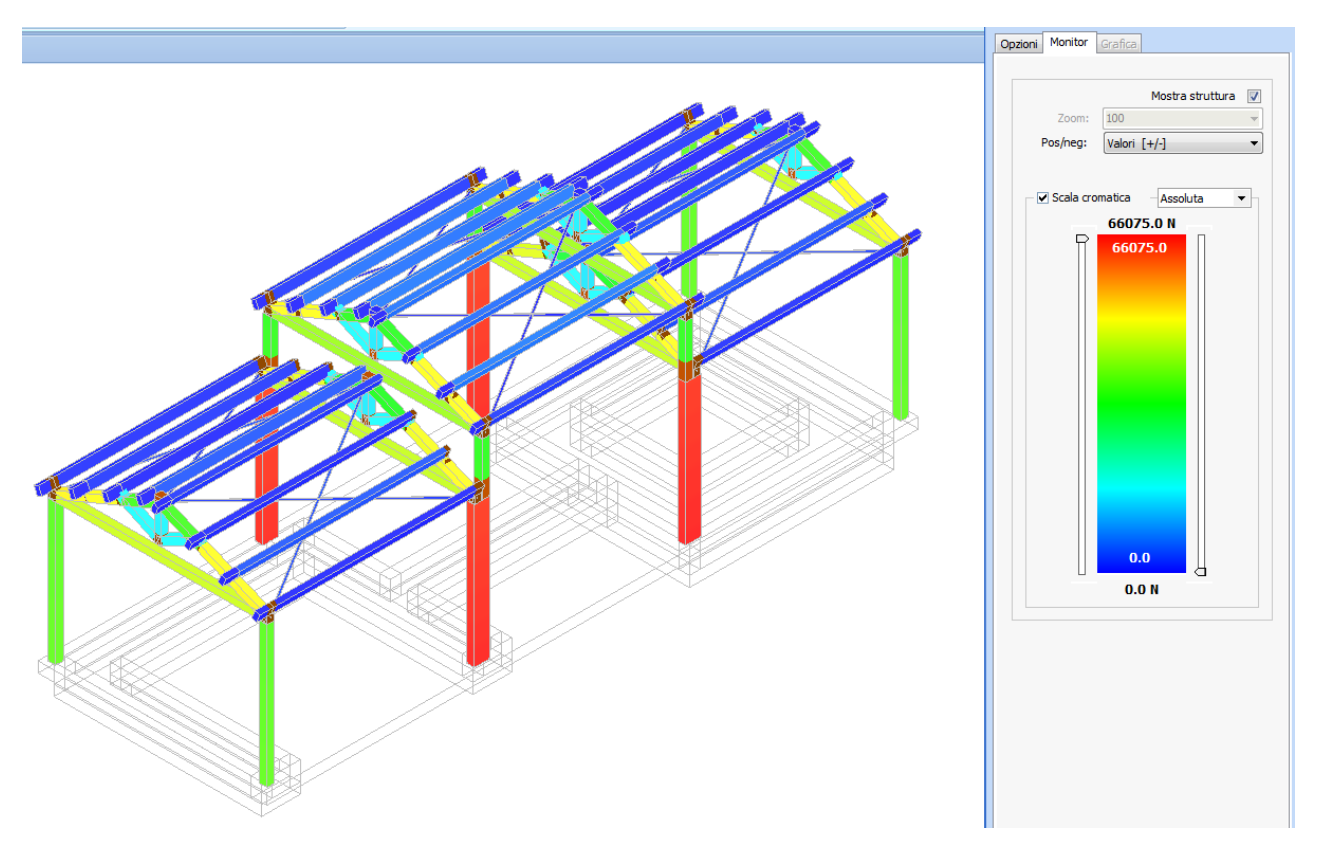


Figura 15. Stato tensivo tettoia a sforzo normale

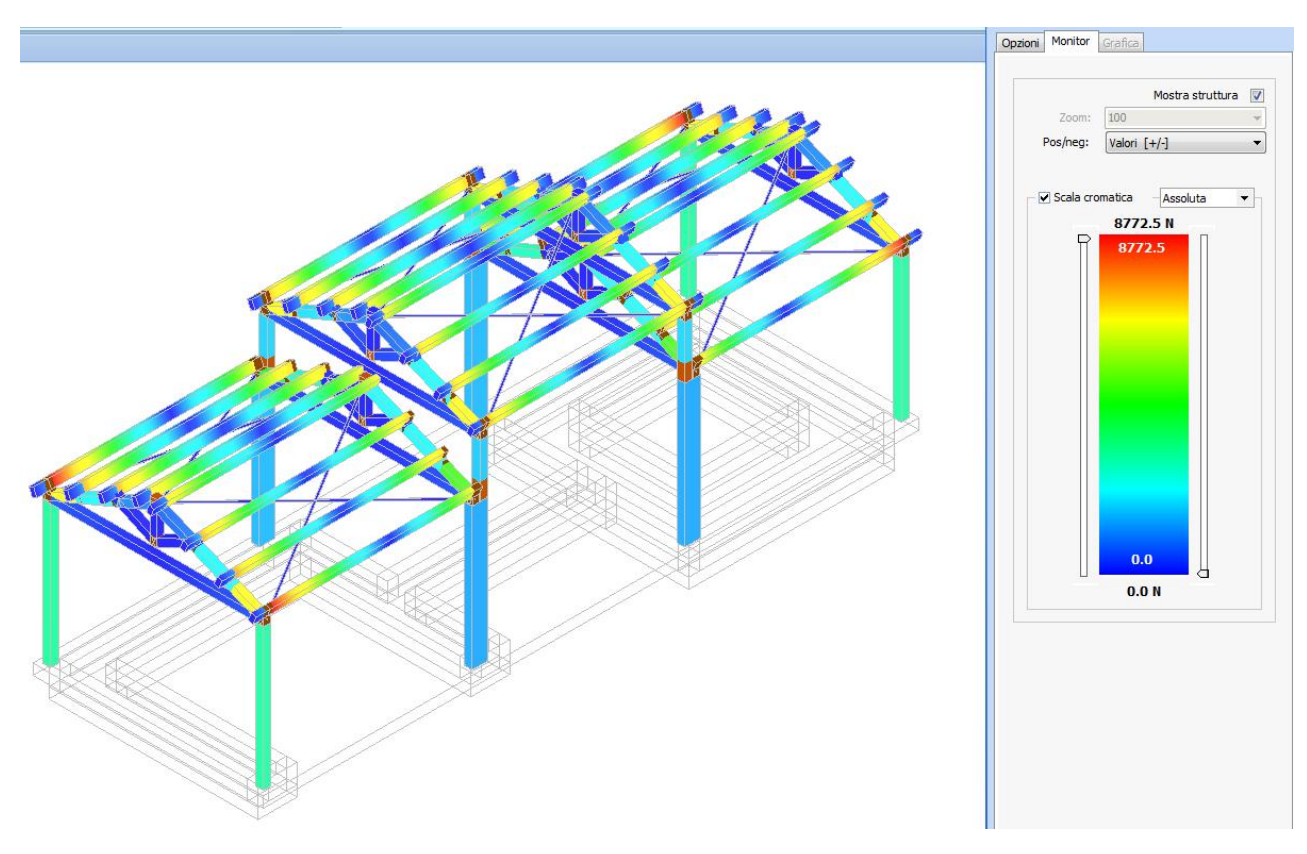


Figura 16. Stato tensivo tettoia a sforzo di taglio

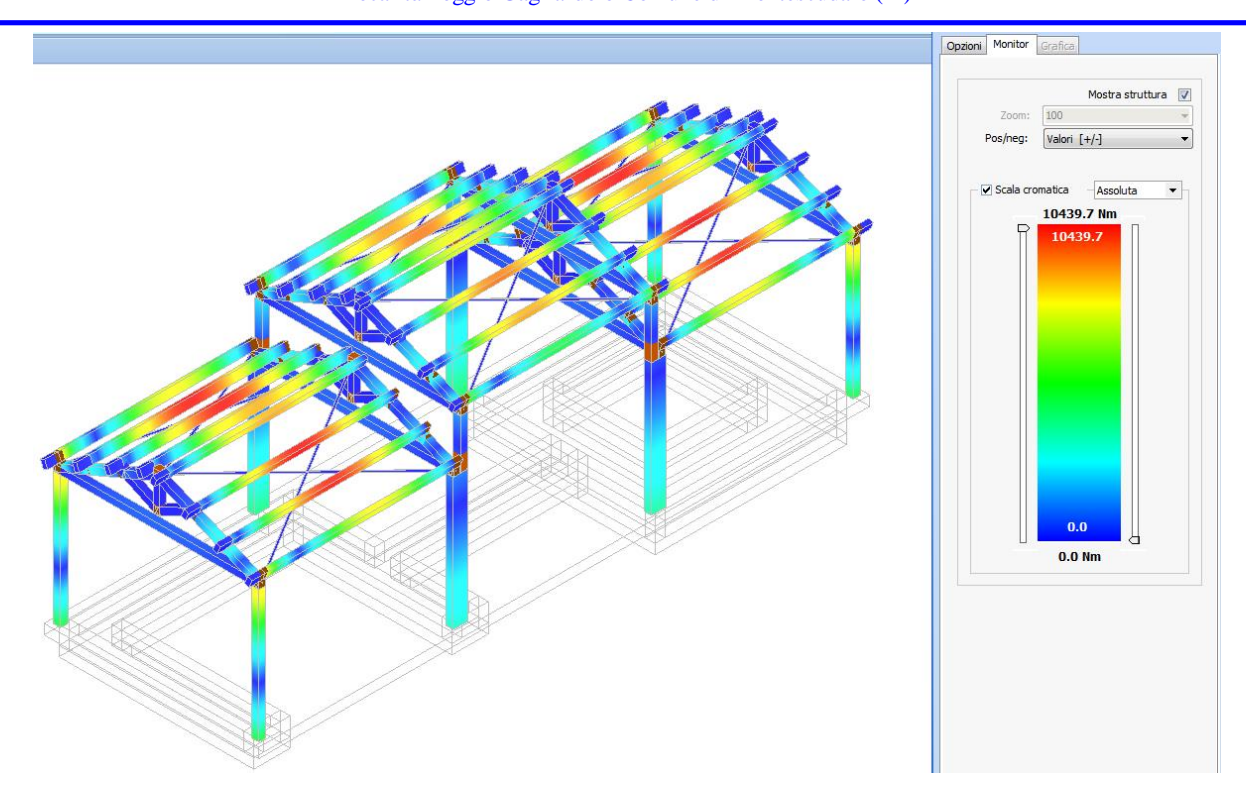


Figura 17. Stato tensivo tettoia a momento flettente

## 10.1.3 Passerella calpestabile

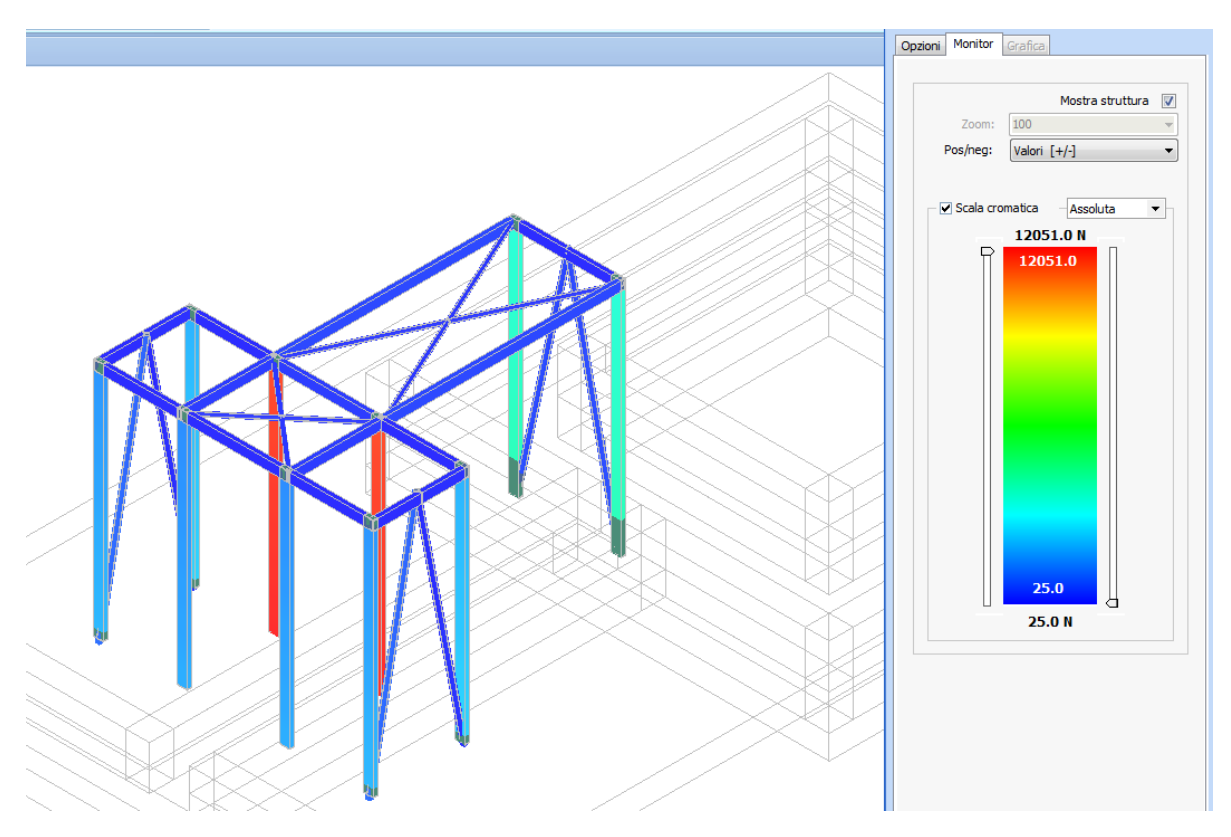


Figura 18. Stato tensivo tettoia a sforzo normale

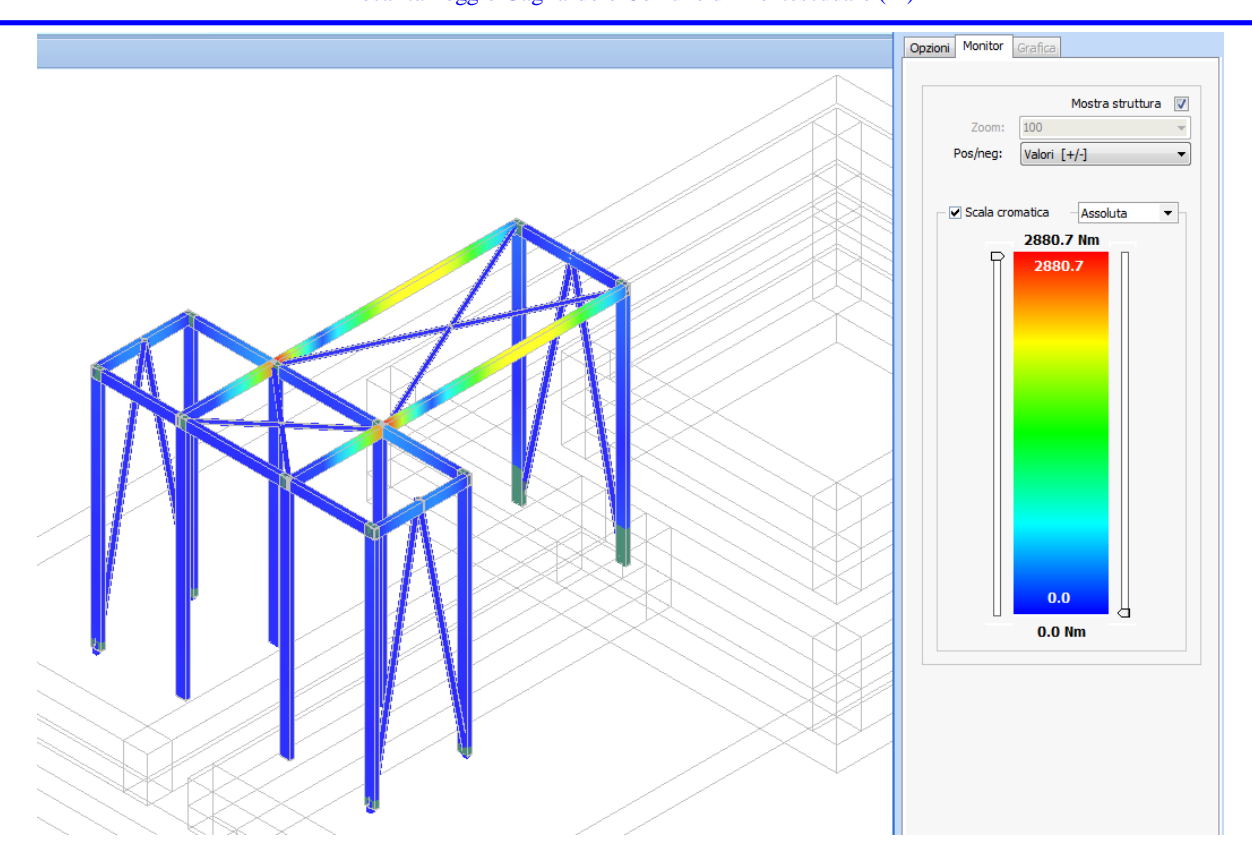


Figura 19. Stato tensivo tettoia a momento flettente

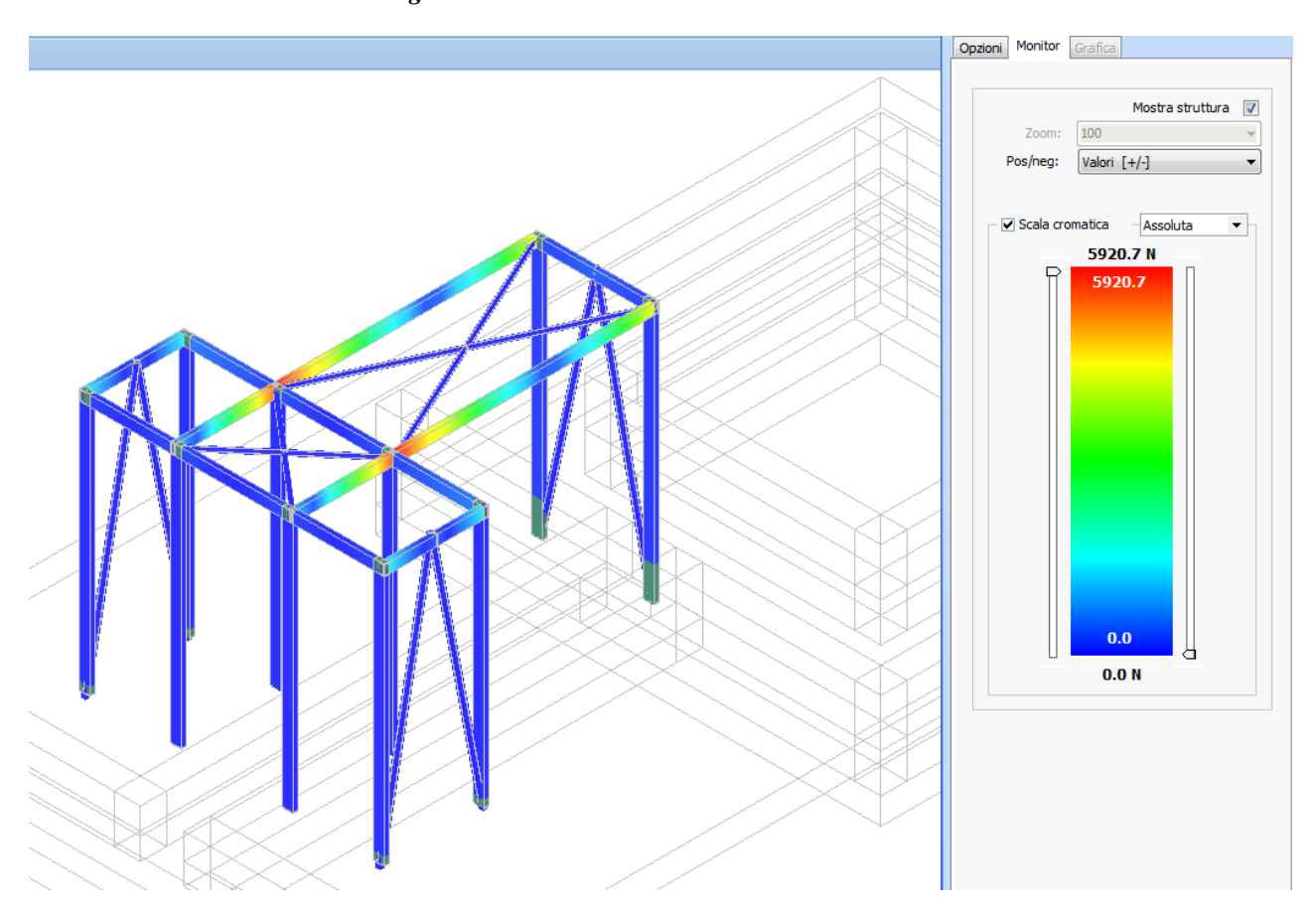


Figura 20. Stato tensivo tettoia a sforzo di taglio

## 11 RISULTATI DI CALCOLO E SOLLECITAZIONI DEI SERBATOI

Si riportano di seguito i risultati dei calcoli e dei grafici relativi allo stato tensivo dei manufatti in acciaio quali il separatore di condense ed i filtri a carboni attivi, generati dalle sollecitazioni e dai carichi applicati alle strutture oggetto della presente relazione tecnica.

#### 11.1 SOLLECITAZIONI E STATO DI TENSIONI DEI PROFILATI IN ACCIAIO

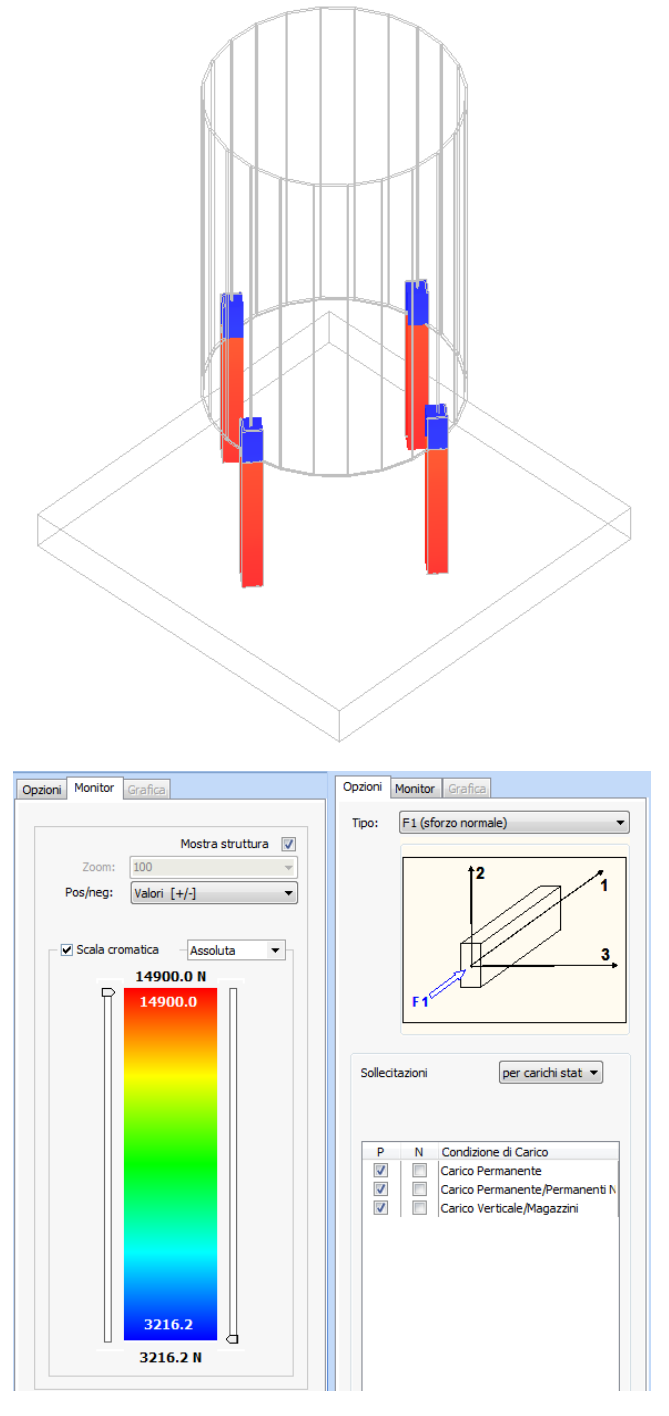


Figura 21. Stato tensivo serbatoio a sforzo normale

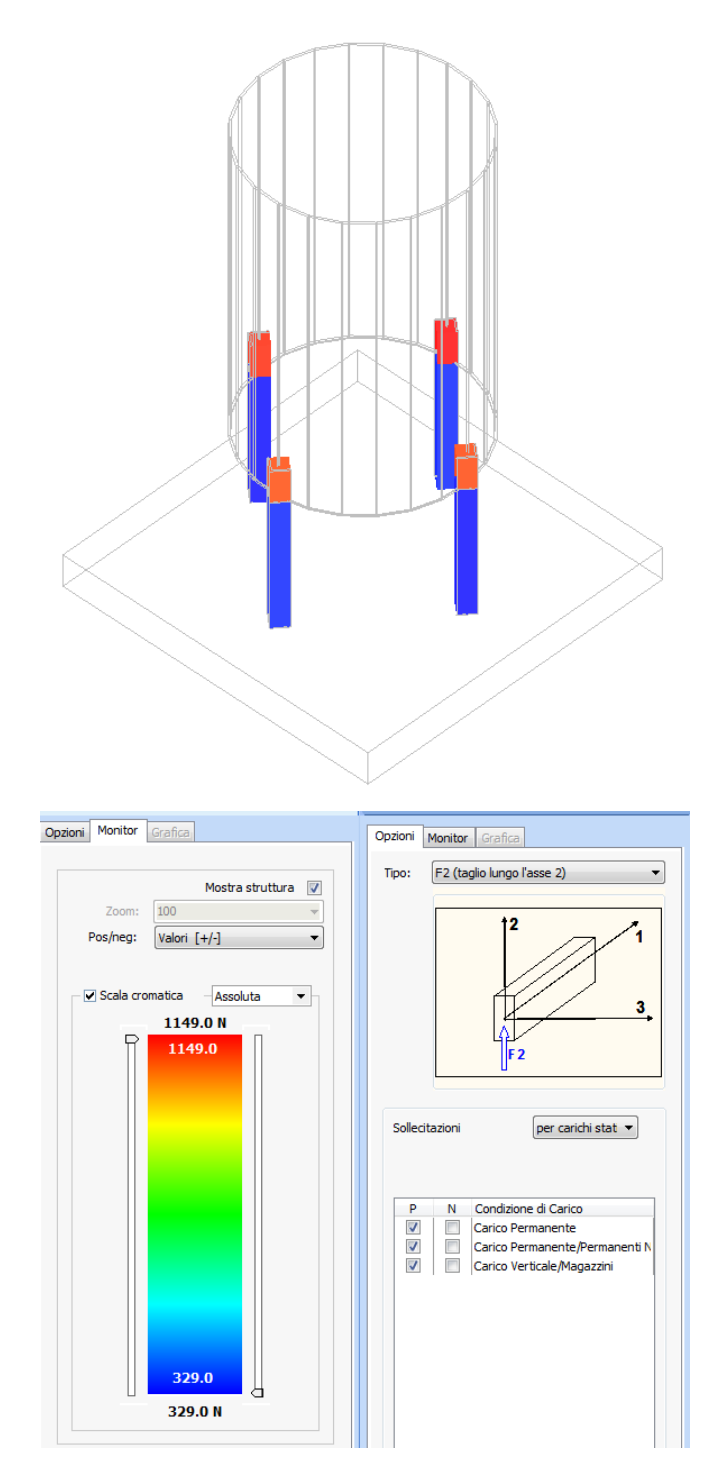


Figura 22. Stato tensivo serbatoio a sforzo di taglio

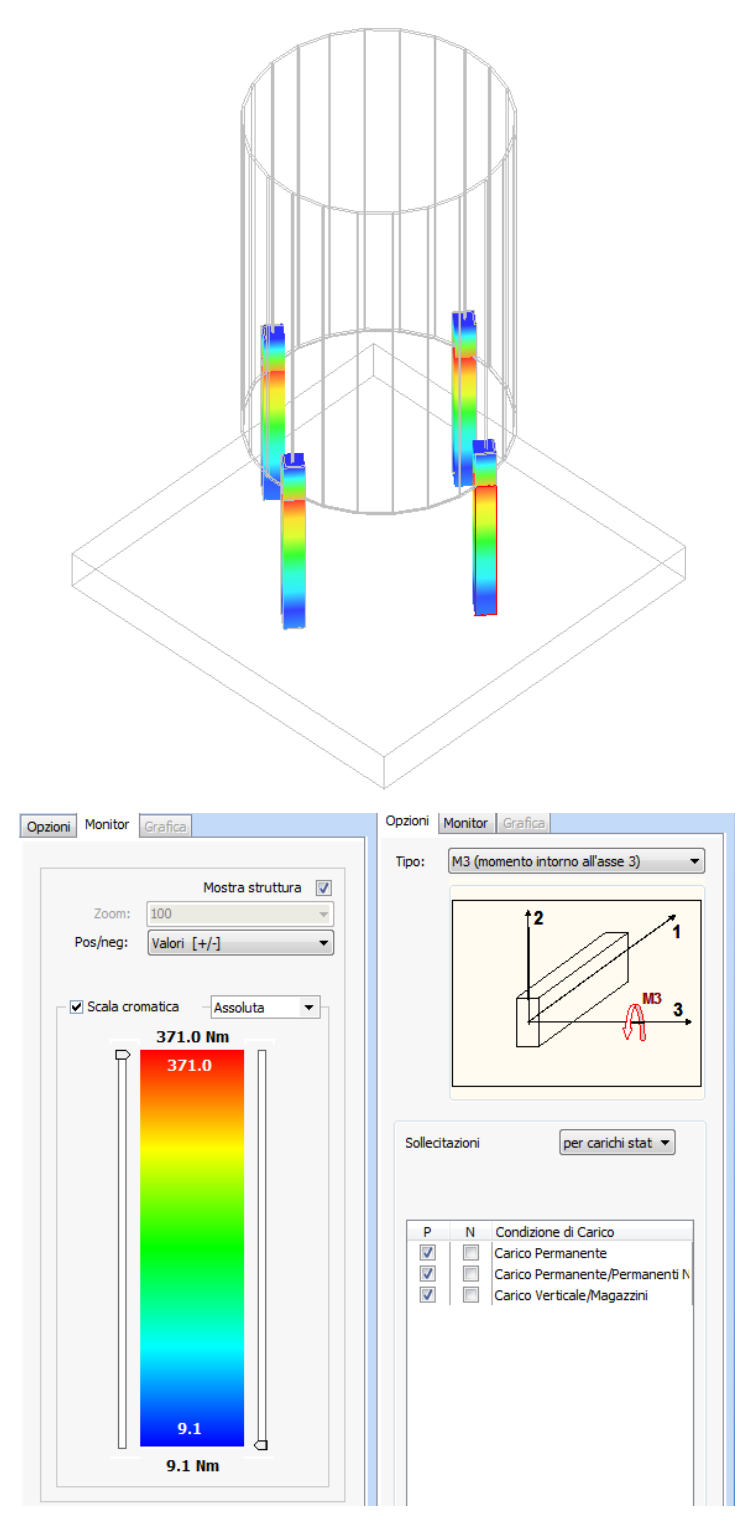


Figura 23. Stato tensivo serbatoio a momento flettente

#### 11.2 SEZIONE PROFILI ACCIAIO

Le valutazioni relative al comportamento strutturale del separatore di condensa e dei filtri a carboni attivi, così come definiti ai paragrafi precedenti, sono state effettuate al fine di definire la sezione delle aste di sostegno e supporto dei due manufatti in acciaio.

Nello specifico la sezione delle aste in acciaio S275, avranno sezione a õLö con caratteristiche sotto definite.

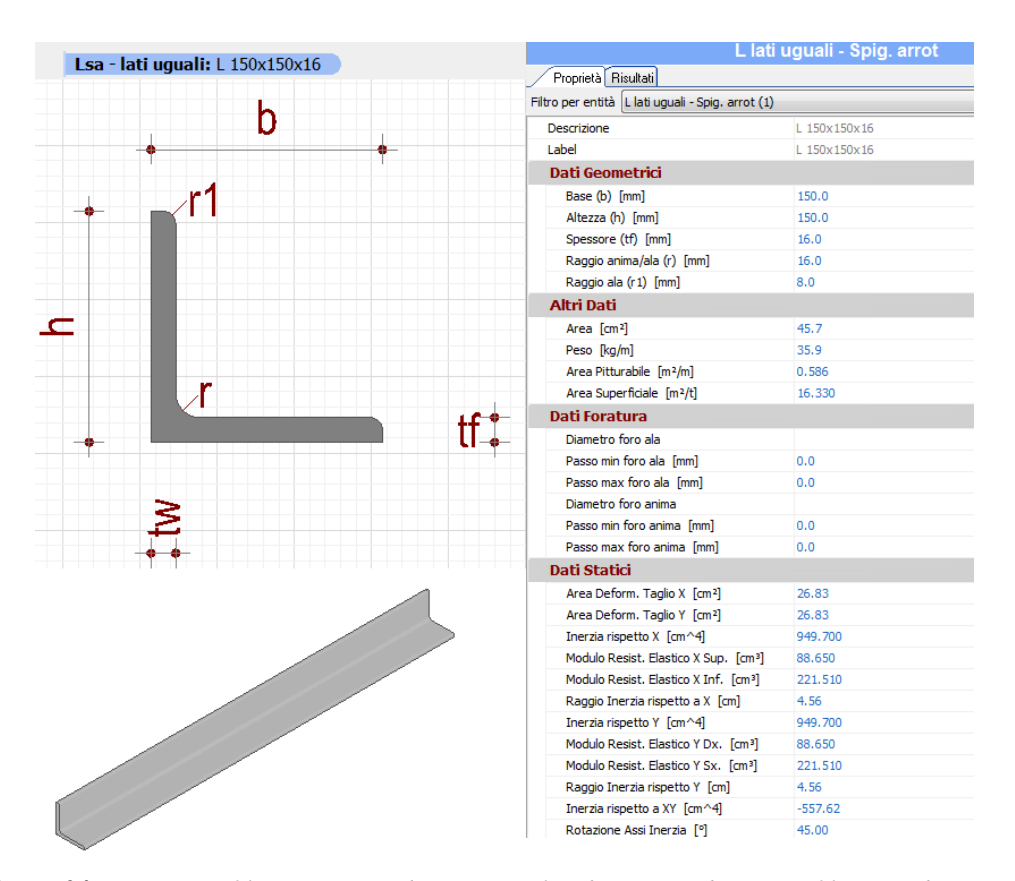


Figura 24. Sezione profilati in acciaio di sostegno al serbatoio condense e ai filtri a carboni attivi

## 11.3 CALCOLO SPESSORI DEI FASCIAMI METALLICI E DEI FONDI CURVI

## 11.3.1 Calcoli separatore di condensa

## CALCOLO SPESSORE FASCIAME CILINDRICO

Descrizione	Simbolo	Unità di misura	Valore
stato di sollecitazione interna	р	MPa	0,050
stato di sollecitazione ammissibile di progetto a Tamb.	f	MPa	186,67
Resistenza a trazione a temperatura ambiente	Rm	MPa	580
Resistenza a snervamento a temperatura ambiente	Rp0.2	MPa	280
Diametro interno massimo	Dmax	mm	
Altezza del cilindro	Н	mm	1500
Modulo di efficienza delle sezioni d indebolimento	Z		1
Modulo di elasticità del materiale	Et	MPa	200000
Diametro esterno del fasciame cilindrico	De	mm	1910
Sollecitazione ammissibile a temperatura ambiente	f	MPa	186,67
Spessore minimo di calcolo di parete	s0	mm	0,256
Rapporto per determinare il modulo di efficienza z	p/f		0,00027
Tempo di corrosione	Ť	anni	10
Spessore di corrosione massimo annuo	Sc	pollici/anno	0,002
	Scorr	mm	0,50800
Spessore totale	S0+Scorr	mm	0,764
Spessore di progetto	S	mm	4,000

# CALCOLO SPESSORE FONDO ELLITTICO

Descrizione	Simbolo	Unità di misura	Valore
stato di sollecitazione interna	р	MPa	0.055
stato di sollecitazione ammissibile di progetto a T amb.	f	MPa	186,667
Resistenza a trazione a temperatura ambiente	Rm	MPa	580
Resistenza a snervamento a temperatura ambiente	Rp0.2	MPa	280
Raggio di curvatura all'intradosso del fondo	Rb	mm	2270,523
Raggio di curvatura all'intradosso del fondo	Ra	mm	167,891
Diametro esterno	De	mm	1910
Diametro interno	Di	mm	1906
Modulo di efficienza delle sezioni d indebolimento	z		1
Coefficiente di forma	C0		1,35
Coefficiente di forma	С		2,99
Altezza del fondo	Н	mm	400
Rapporto H/De	H/De		0,209
Rapporto S/De	S/De		0,002
Spessore del fasciame cilindrico	S	mm	4
Rapporto per determinare il modulo di efficienza z	p/f		0,00030
Spessore caso 1	s0	mm	8,0
Spessore caso 2	s0	mm	0,4
Spessore caso 3	s0	mm	0,3
Spessore minimo di calcolo di parete	s0	mm	0,8
Tempo di corrosione	Т	anni	10
Spessore di corrosione massimo annuo	Sc	pollici/anno	0,002
	Scorr	mm	0,508
Spessore totale	S0+Scorr	mm	1,352
Spessore di progetto	S	mm	4
Carico		kg	1500
Incremento di pressione		kg/mm <sup>2</sup>	0,00053
Superficie sezione di base		mm <sup>2</sup>	2853223

# 11.3.2 Calcoli filtro a carboni attivi

## CALCOLO SPESSORE FASCIAME CILINDRICO

Descrizione	Simbolo	Unità di misura	Valore
Stato di sollecitazione interna	р	MPa	0,05
Stato di sollecitazione ammissibile di progetto a Tamb.	f	MPa	186,7
Resistenza a trazione a temperatura ambiente	Rm	MPa	580
Resistenza a snervamento a temperatura ambiente	Rp0.2	MPa	280
Altezza del cilindro	Н	mm	1500
Modulo di efficienza delle sezioni d indebolimento	z		1
Modulo di elasticità del materiale	Et	MPa	200000
Diametro esterno del fasciame cilindrico	De	mm	1910
Sollecitazione ammissibile a temperatura ambiente Spessore minimo di calcolo di parete Rapporto per determinare il modulo di efficienza z Tempo di corrosione	f s0 p/f T	MPa mm anni	186,7 0,256 0,00027
Spessore di corrosione massimo annuo	Sc	pollici/anno	0,002
-r	Scorr	mm	0,508
Spessore totale	S0+Scorr	mm	0,764
Spessore di progetto	S	mm	4,000

# CALCOLO SPESSORE FONDO ELLITTICO

Descrizione	Simbolo	Unità di misura	Valore
Stato di sollecitazione interna	р	MPa	0,065
Stato di sollecitazione ammissibile di progetto a T amb.	f	MPa	186,67
Resistenza a trazione a temperatura ambiente	Rm	MPa	580
Resistenza a snervamento a temperatura ambiente	Rp0.2	MPa	280
Raggio di curvatura all'intradosso del fondo	Rb	mm	2271
Raggio di curvatura all'intradosso del fondo	Ra	mm	168
Diametro esterno	De	mm	1910
Diametro interno	Di	mm	1906
Modulo di efficienza delle sezioni d indebolimento	Z		1
Coefficiente di forma	C0		1,35
Coefficiente di forma	С		2,99
Altezza del fondo	Н	mm	400
Rapporto H/De	H/De		0,209
Rapporto S/De	S/De		0,002
Spessore del fasciame cilindrico	S	mm	4
Rapporto per determinare il modulo di efficienza z	p/f		0,00035
Spessore caso 1	s0	mm	1,001
Spessore caso 2	s0	mm	0,452
Spessore caso 3	s0	mm	0,398
Spessore minimo di calcolo di parete	s0	mm	1,001
Tempo di corrosione	T	anni	10
Spessore di corrosione massimo annuo	Sc	pollici/anno	0,002
	Scorr	mm	0,508
Spessore totale	S0+Scorr	mm	1,509
Spessore di progetto	S	mm	4,000
Carico		kg	4500
Incremento di pressione		kg/mm <sup>2</sup>	0,00158
Superficie sezione di base		mm <sup>2</sup>	2853223

## 11.3.3 Calcoli tubazioni in acciaio

## DN 80

## CALCOLO SPESSORE TUBAZIONI

Descrizione	Simbolo	Unità di misura	Valore
Stato di sollecitazione interna	р	MPa	0,05
Stato di sollecitazione ammissibile di progetto a Tamb.	f	MPa	186,7
Resistenza a trazione a temperatura ambiente	Rm	MPa	580
Resistenza a snervamento a temperatura ambiente	Rp0.2	MPa	280
Altezza del cilindro	Н	mm	6000
Modulo di efficienza delle sezioni d indebolimento	z		1
Modulo di elasticità del materiale	Et	MPa	200000
Diametro esterno del fasciame cilindrico	De	mm	88,9
Sollecitazione ammissibile a temperatura ambiente Spessore minimo di calcolo di parete Rapporto per determinare il modulo di efficienza z Tempo di corrosione	f s0 p/f T	MPa mm anni	186,7 0,012 0,00027 10
Spessore di corrosione massimo annuo	Sc	pollici/anno	0,002
•	Scorr	mm	0,508
Spessore totale	S0+Scorr	mm	0,520
Spessore di progetto	S	mm	3,000

## DN 400

## CALCOLO SPESSORE TUBAZIONI

Descrizione	Simbolo	Unità di misura	Valore
Stato di sollecitazione interna	р	MPa	0,05
Stato di sollecitazione ammissibile di progetto a Tamb.	f	MPa	186,7
Resistenza a trazione a temperatura ambiente	Rm	MPa	580
Resistenza a snervamento a temperatura ambiente	Rp0.2	MPa	280
Altezza del cilindro	Н	mm	6000
Modulo di efficienza delle sezioni d indebolimento	z		1
Modulo di elasticità del materiale	Et	MPa	200000
Diametro esterno del fasciame cilindrico	De	mm	406,4
Sollecitazione ammissibile a temperatura ambiente Spessore minimo di calcolo di parete Rapporto per determinare il modulo di efficienza z Tempo di corrosione Spessore di corrosione massimo annuo	f s0 p/f T Sc Scorr	MPa mm anni pollici/anno	186,7 0,054 0,00027 10 0,002 0,508
Spessore totale	S0+Scorr	mm mm	0,562
Spessore totale Spessore di progetto	S	mm	3,000
1 - 3 - 3 - 3 - 3 - 3 - 3 - 3 - 3 - 3 -			-,